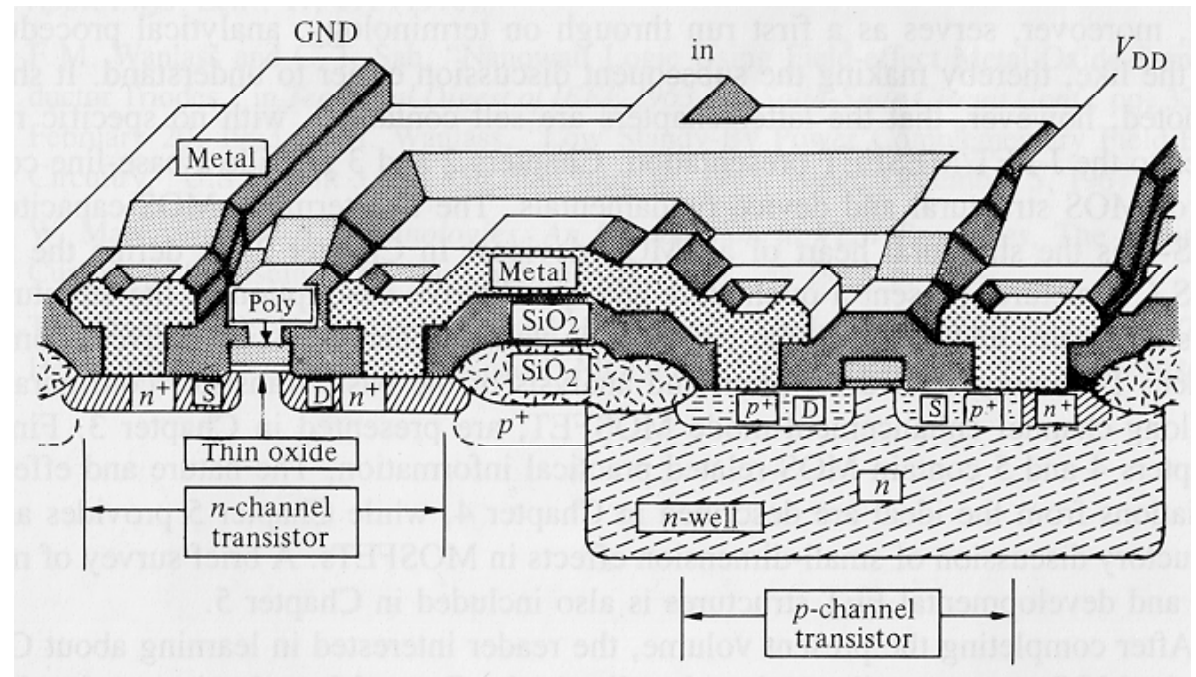
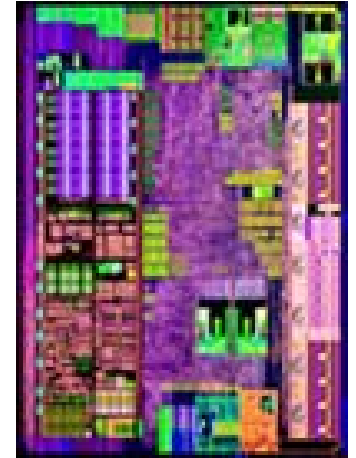
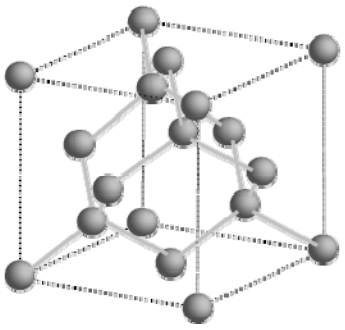


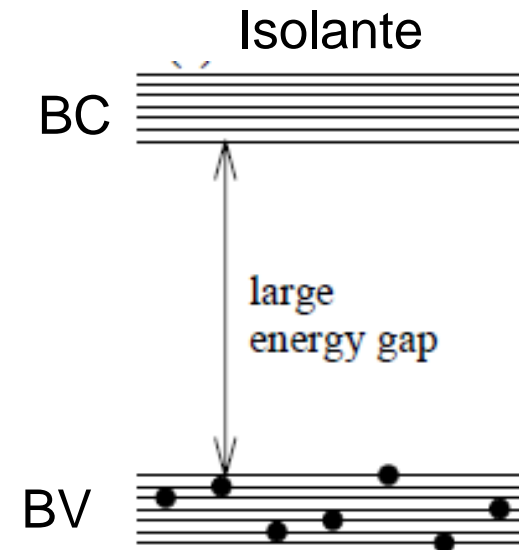
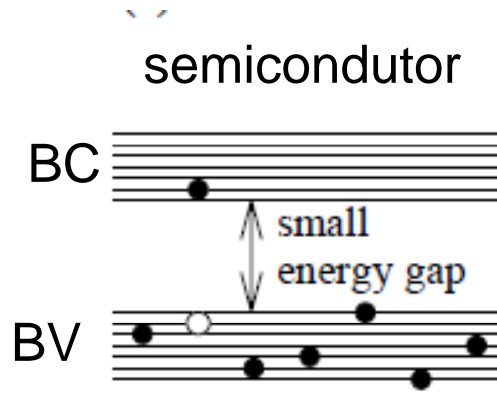
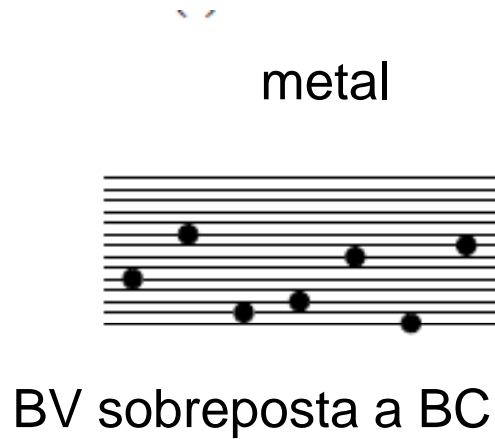
# Materiais e dispositivos semicondutores

PMT3200



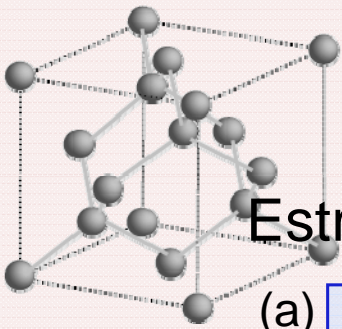


# Semicondutores? Lembrando PMT 3100



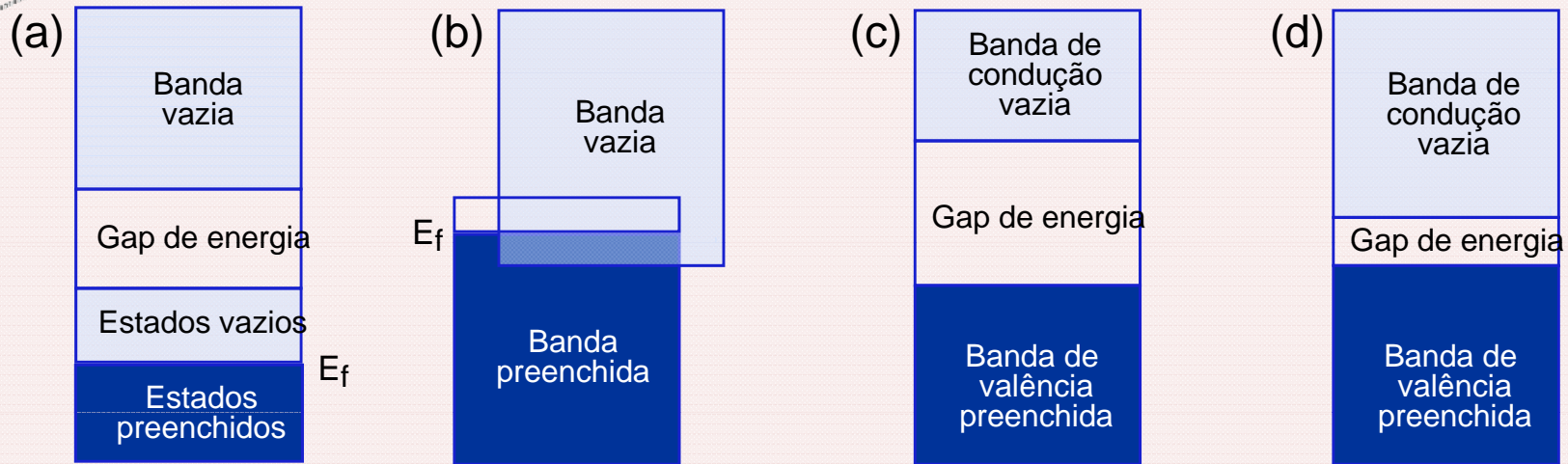
BV - Banda de Valência  
BC - Banda de Condução  
Gap - Banda Proibida

Energia de gap  $E_g$   
 $E_g(\text{Si}) = 1,11\text{eV}$   
 $E_g(\text{Ge}) = 0,67\text{eV}$   
 $E_g(\text{SiO}_2) = 8\text{eV}$

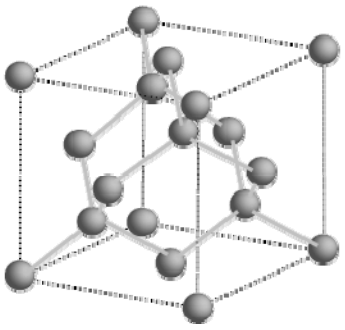


# ESTRUTURAS DE BANDAS DE ENERGIA NOS SÓLIDOS

Estruturas de bandas de energia possíveis para sólidos a 0 K.



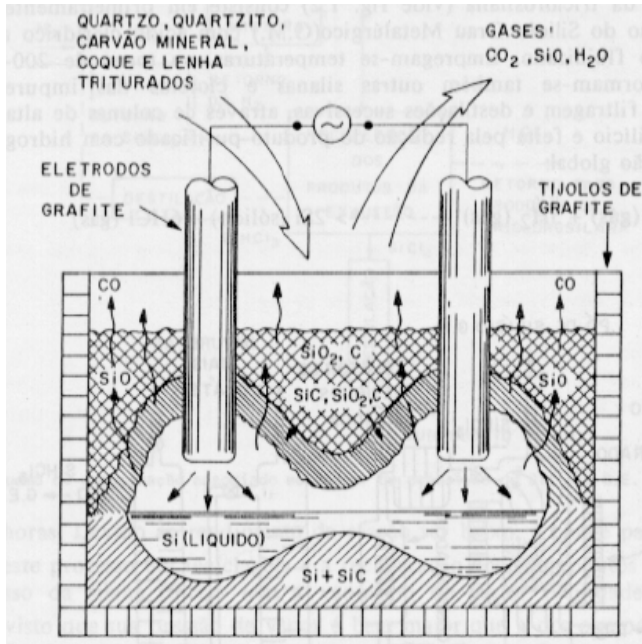
- (a) Bandas de energia de **METAIS** tais como o cobre ( $Z = 29, \dots 3d^{10} 4s^1$ ) nos quais se encontram disponíveis, na mesma banda de energia, estados eletrônicos não preenchidos acima e adjacentes a estados eletrônicos preenchidos.
- (b) Bandas de energia de **METAIS** tais como o magnésio ( $Z = 12, 1s^2 2s^2 2p^6 3s^2$ ) nos quais ocorre a superposição das bandas de energia mais externas, a preenchida e a não-preenchida.
- (c) Bandas de energia típicas de **ISOLANTES**: a BANDA DE VALÊNCIA (banda de energia preenchida) é separada da BANDA DE CONDUÇÃO (banda de energia não-preenchida) por um **GAP DE ENERGIA** (banda de energia proibida, ou seja, barreira de energia) de largura relativamente grande ( $>2$  eV).
- (d) Bandas de energia de **SEMICONDUTORES**: a estrutura de bandas de energia é semelhante à dos isolantes, mas com gaps de energia de larguras menores ( $<2$  eV).



# Etapas de Processo para Obtenção de Silício Grau Eletrônico

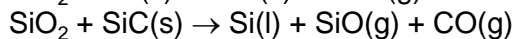


## Obtenção de Silício Grau metalúrgico

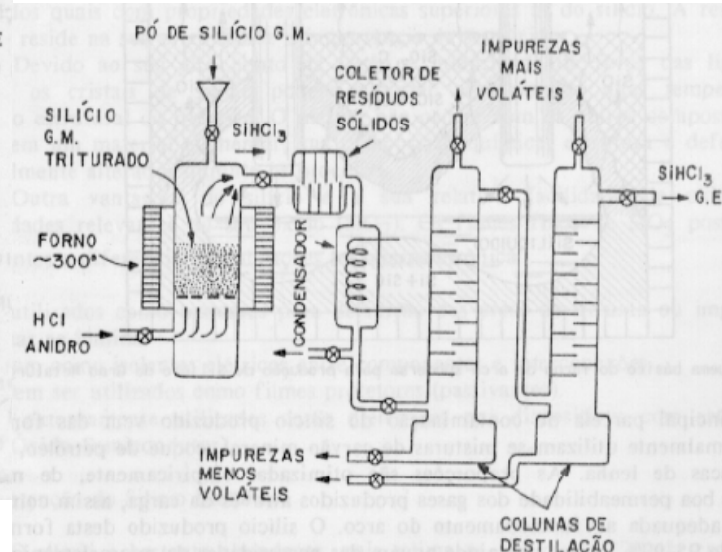


Reação com carvão

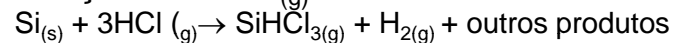
Redução:



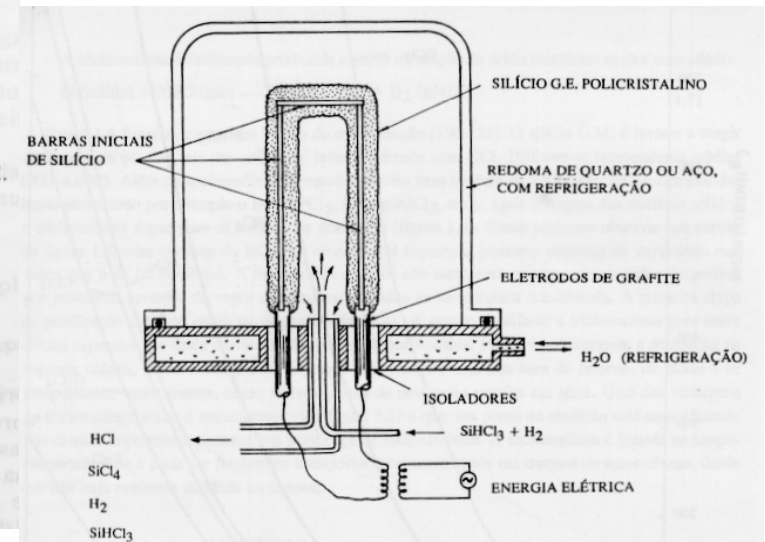
## Purificação do Silício Grau Metalúrgico



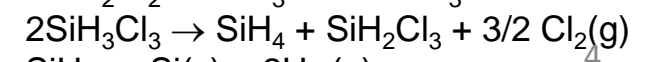
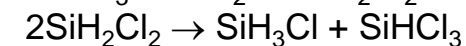
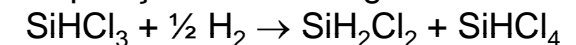
Reação com HCl(g)

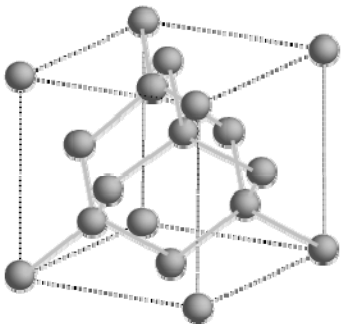


## Obtenção de Silício Policristalino Grau Eletrônico (processo Siemens)



Deposição de Silício grau eletrônico:

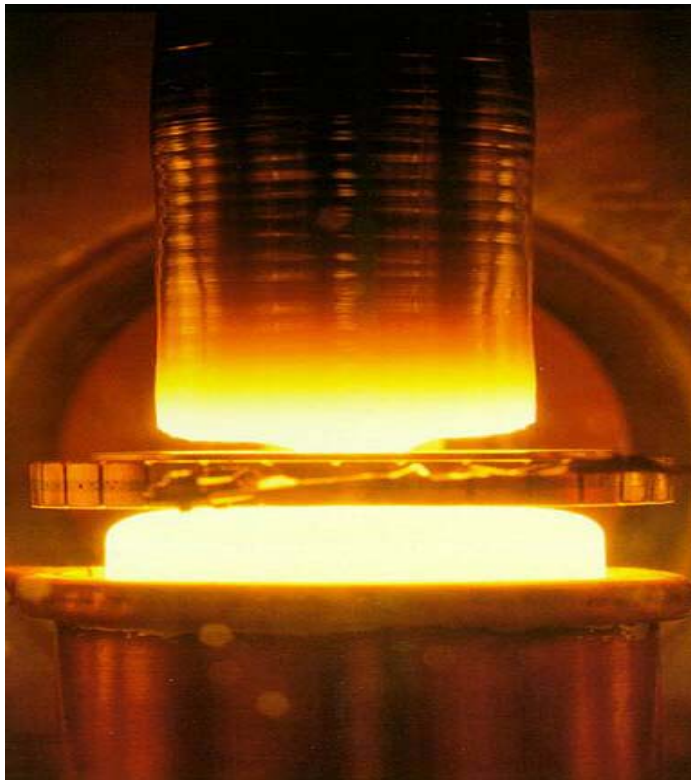




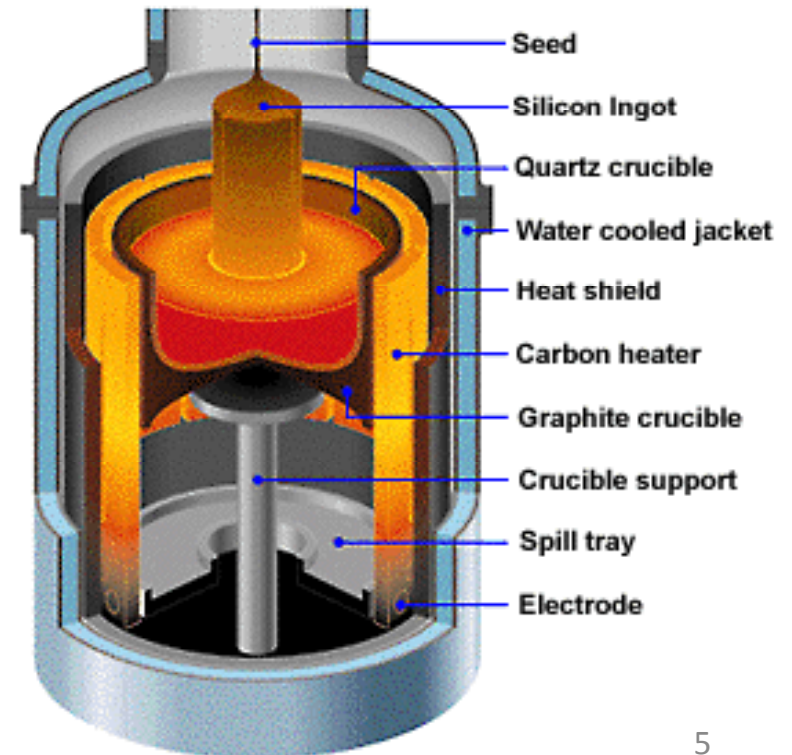
# Materiais e dispositivos semicondutores

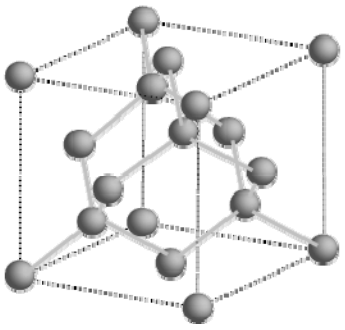
Métodos de obtenção de Silício para aplicações em microeletrônica.

### Processo Float Zone



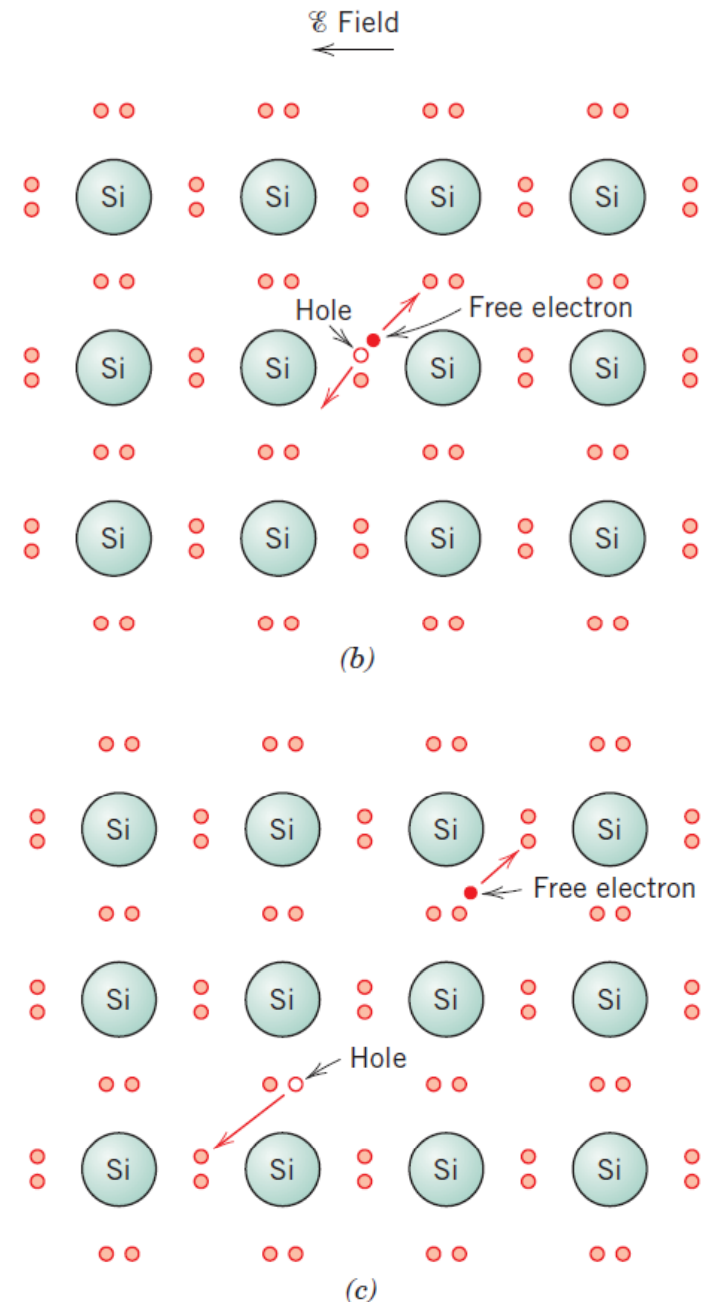
### Processo de Czochralski

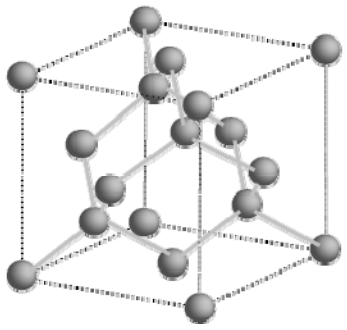




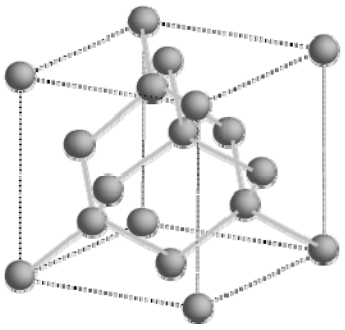
# Semicondutor intrínseco

- A zero kelvin, a banda de valência está completa e a banda de condução vazia.
- Excitação térmica produz **ionização**: elétron salta da BV para BC e cria buraco eletrônico.
- Numa situação de equilíbrio, existem **n** elétrons na banda de condução e **p** buracos na banda de valência.  
 $n = p = n_i = n^0$  portadores intrínsecos
- Continuamente ocorre Ionização e recombinação (volta de elétron para BV).

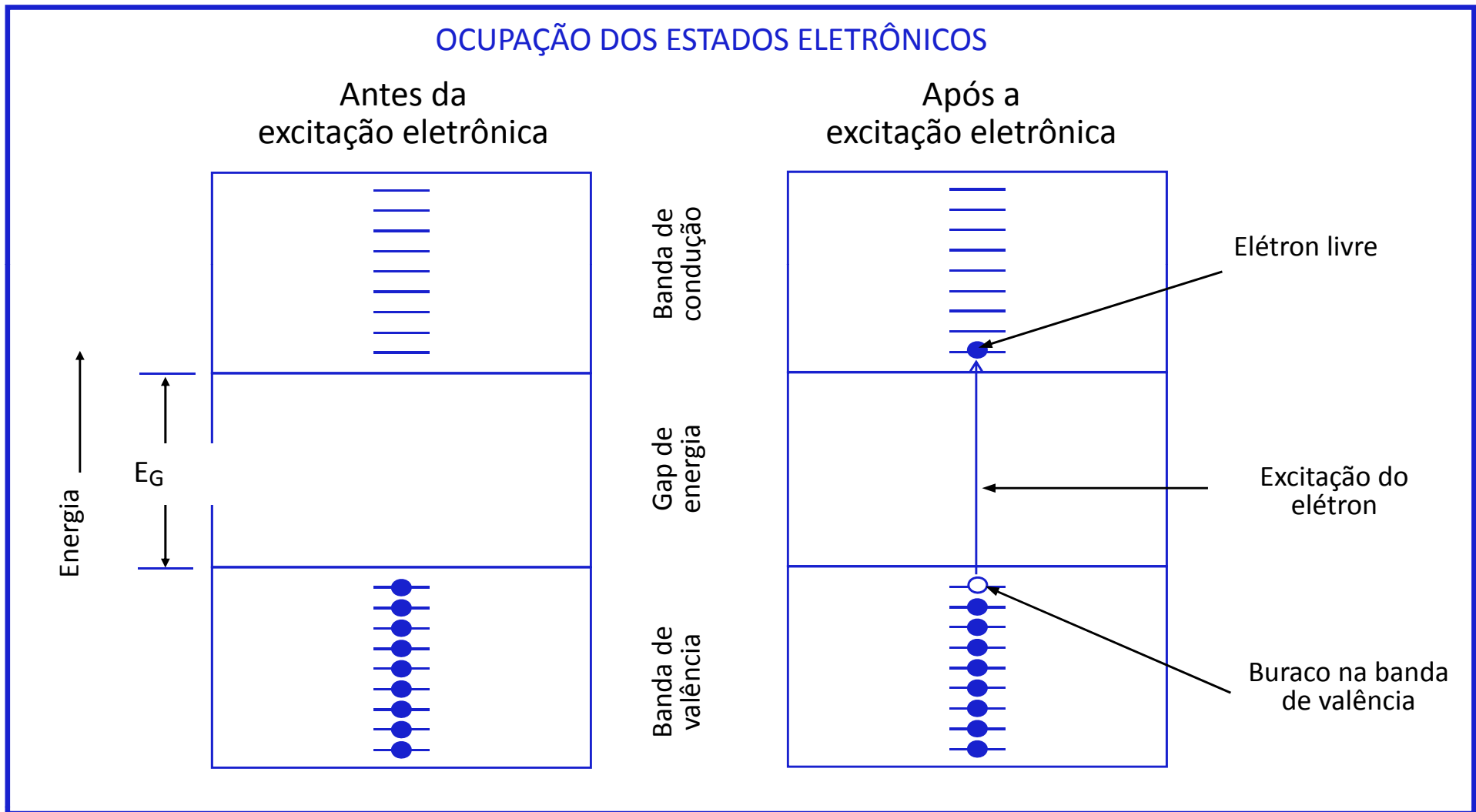


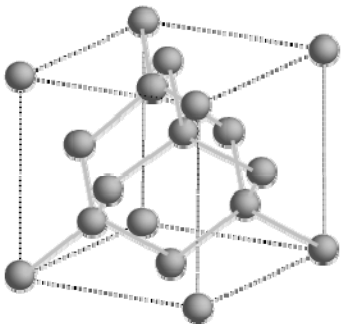


Gap de energia:  
foi dado em PMT 3100:



# Gap de energia: foi dado em PMT 3100:





$n_i$

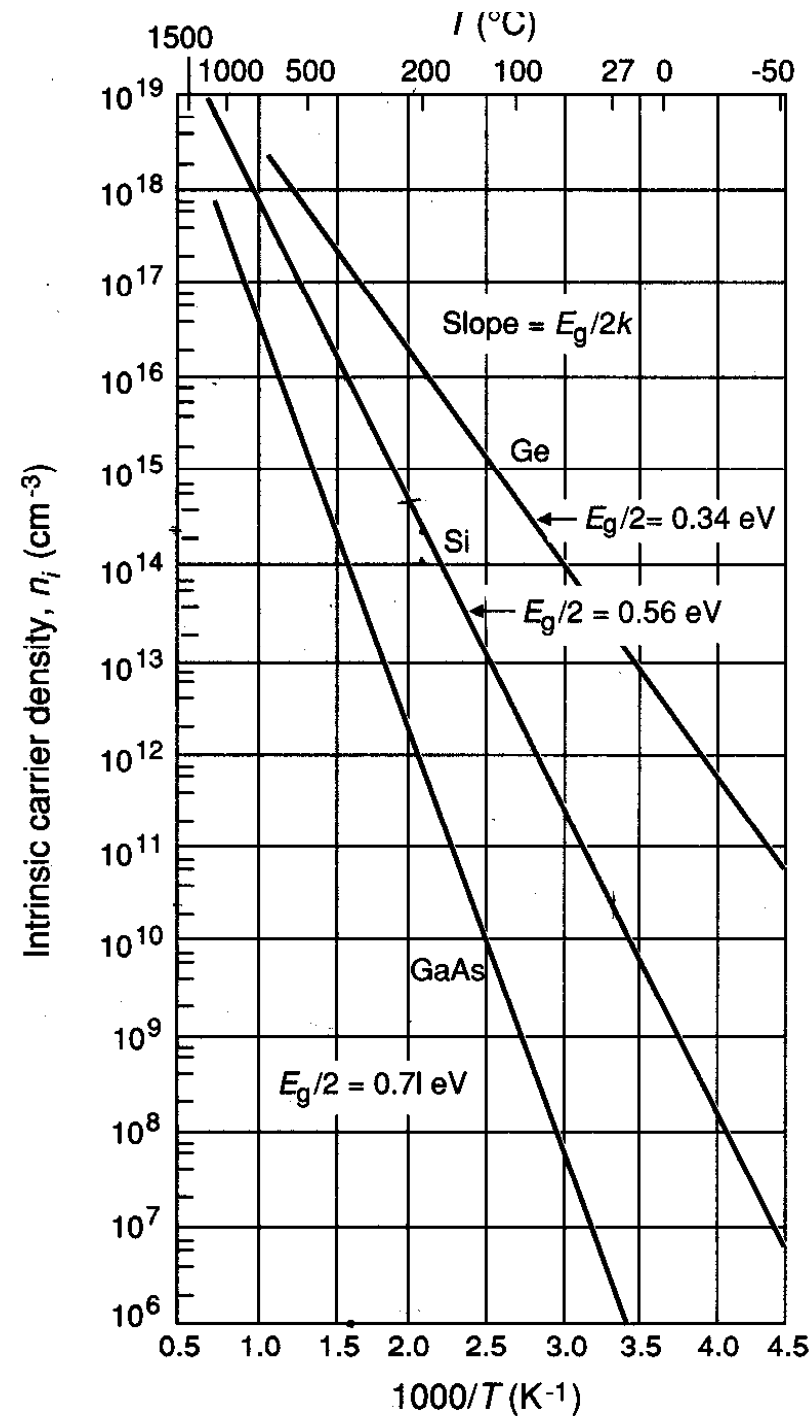
$$n_i = A e^{-E_{\text{gap}} / 2kT}$$

$n_i$  é a densidade de portadores intrínsecos (intrinsic carrier density), em  $\text{cm}^{-3}$

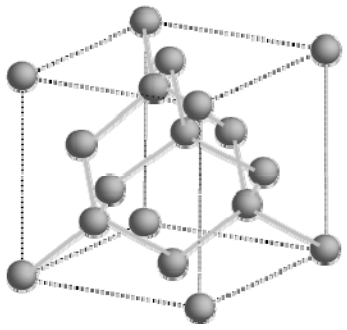
Aumento de T aumenta  $n_i$

Silício não dopado, a  $T_{\text{amb}}$  tem  $1,5 \times 10^{10}$  portadores/ $\text{cm}^3$

Relembrando, Silício tem  $8 \times 10^{22}$  átomos/ $\text{cm}^3$   
aprox. 2 portadores/ $10^{13}$  átomos



Intrinsic carrier densities versus  $1/T$  K in Si, Ge, and GaAs.



# Dopagem de Materiais semicondutores

Existem basicamente dois métodos para dopagem para semicondutores

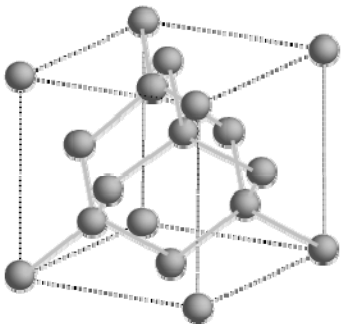
## •Difusão térmica

- A fonte de impureza pode estar no estado gasoso ou sólido
- Temperaturas entre 800 e 1200°C
- Utilizadas para obtenção de junções profundas

## •Implantação Iônica

- O elemento dopante é acelerado contra o substrato
- Após o processo de implantação é realizado um tratamento térmico (recozimento) para ativação da impureza
- Utilizada para obtenção de junções rasas





# Dopagem

- Adição de elementos químicos tri ou pentavalentes aumenta quantidade de lacunas ou elétrons no semicondutor, que passa a ser

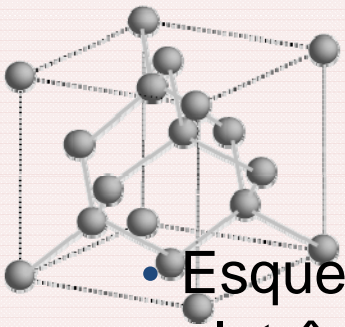
“extrínseco do tipo p ou n”.

- Cada átomo de dopante trivalente (“aceitador de elétrons”) introduz um buraco na BV. Como o portador majoritário passa a ser o buraco, esse material é chamado “tipo p”. O dopante trivalente mais utilizado em tecnologias de Silício é o **Boro**.
- Para obtenção de Silício tipo n o dopante pentavalente é o **Fósforo**.

$$p_p = N_A$$

nº de buracos(p) do material tipo p = nº de átomos dopantes aceitadores.

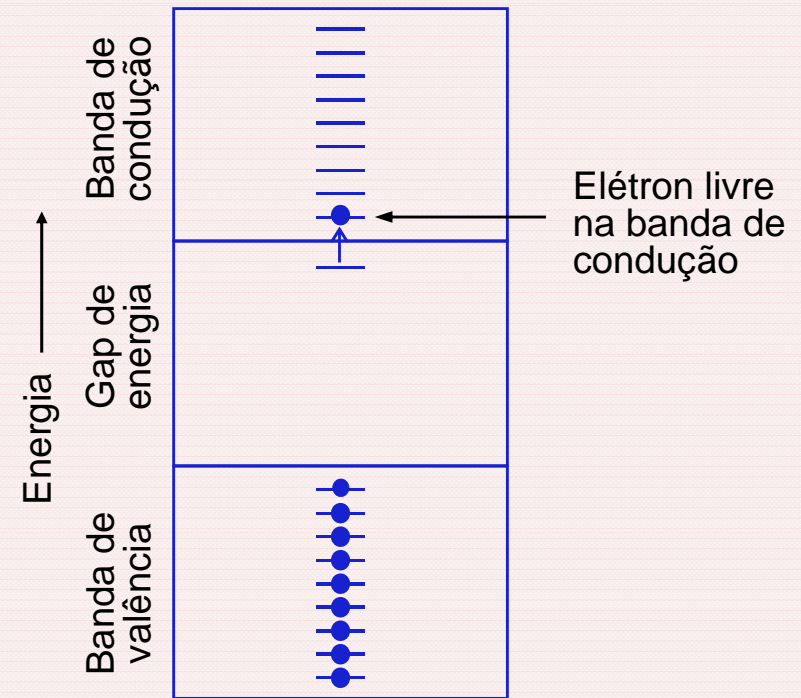
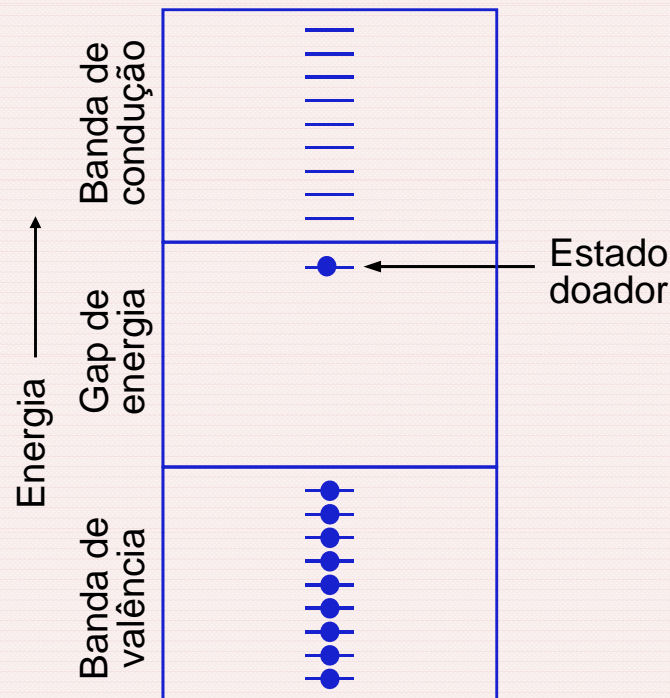
- Material continua neutro, o portador é que é + ou -

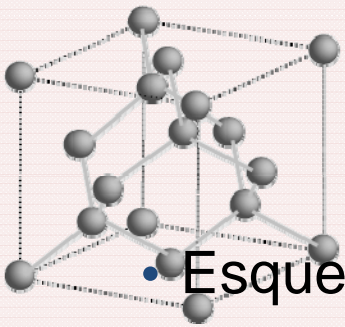


## SEMICONDUCTORES EXTRÍNSECOS DO TIPO n

- Esquema da banda de energia eletrônica para um nível de impureza doadora localizado dentro do gap de energia, imediatamente abaixo da parte inferior da banda de condução.

- Excitação de um estado doador em que um elétron livre é gerado na banda de condução.

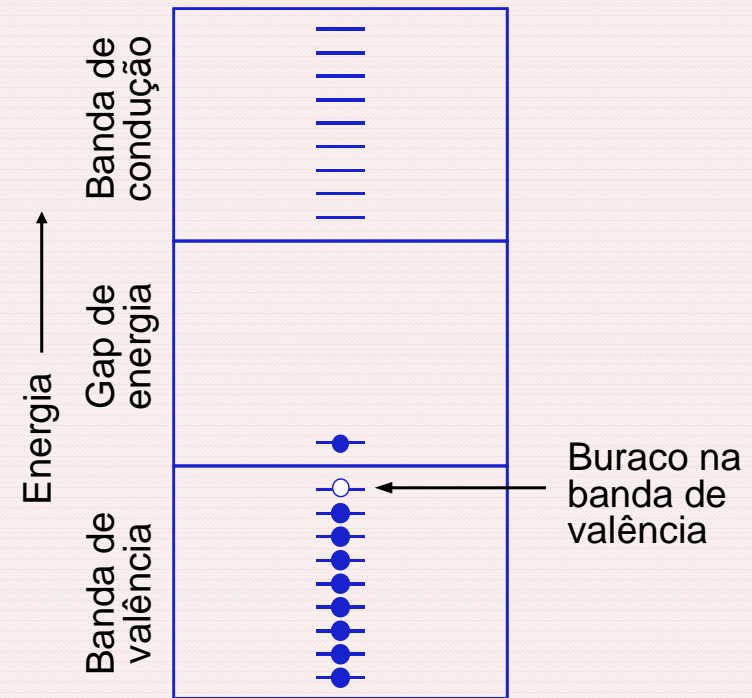
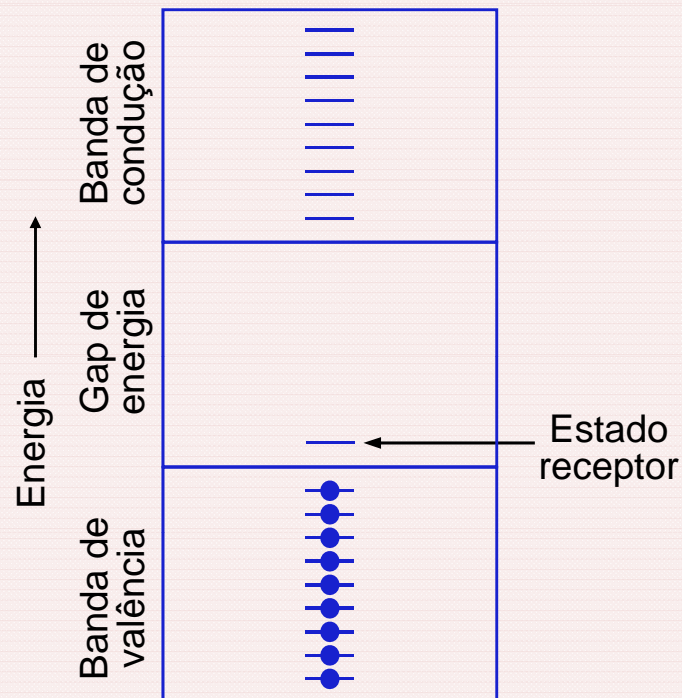


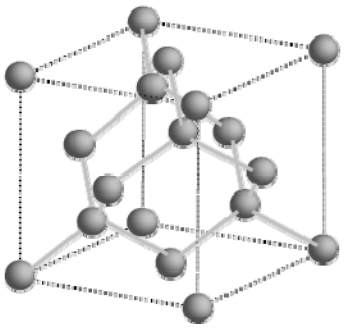


## SEMICONDUCTORES EXTRÍNSECOS DO TIPO p

- Esquema da banda de energia para um nível de impureza receptora localizado dentro do gap de energia, imediatamente acima da parte superior da banda de valência.

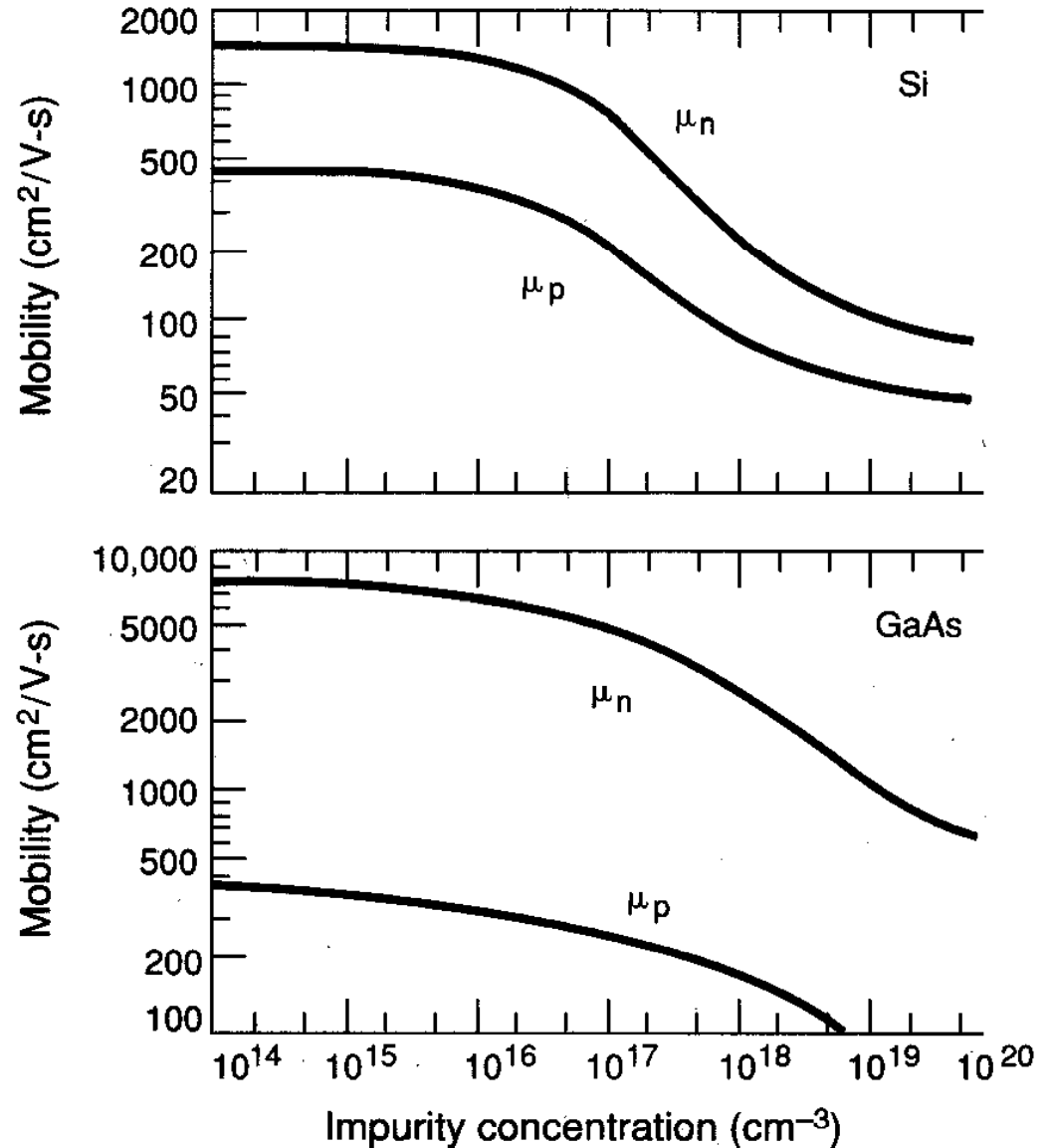
- Excitação de um elétron para o nível receptor, deixando para trás um buraco na banda de valência.



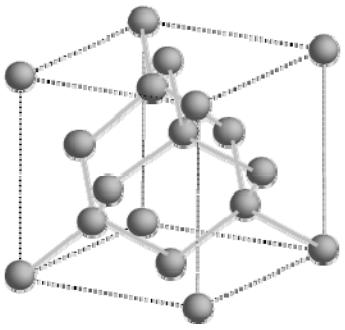


# dopagem diminui mobilidade

- Quanto mais impurezas, menor mobilidade



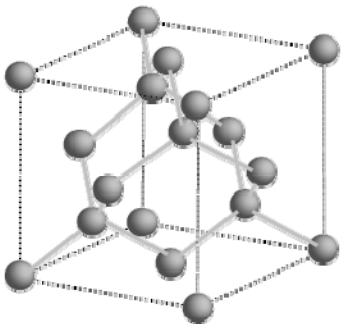
**Agora falaremos sobre a junção pn**



# Condutividade dos semicondutores

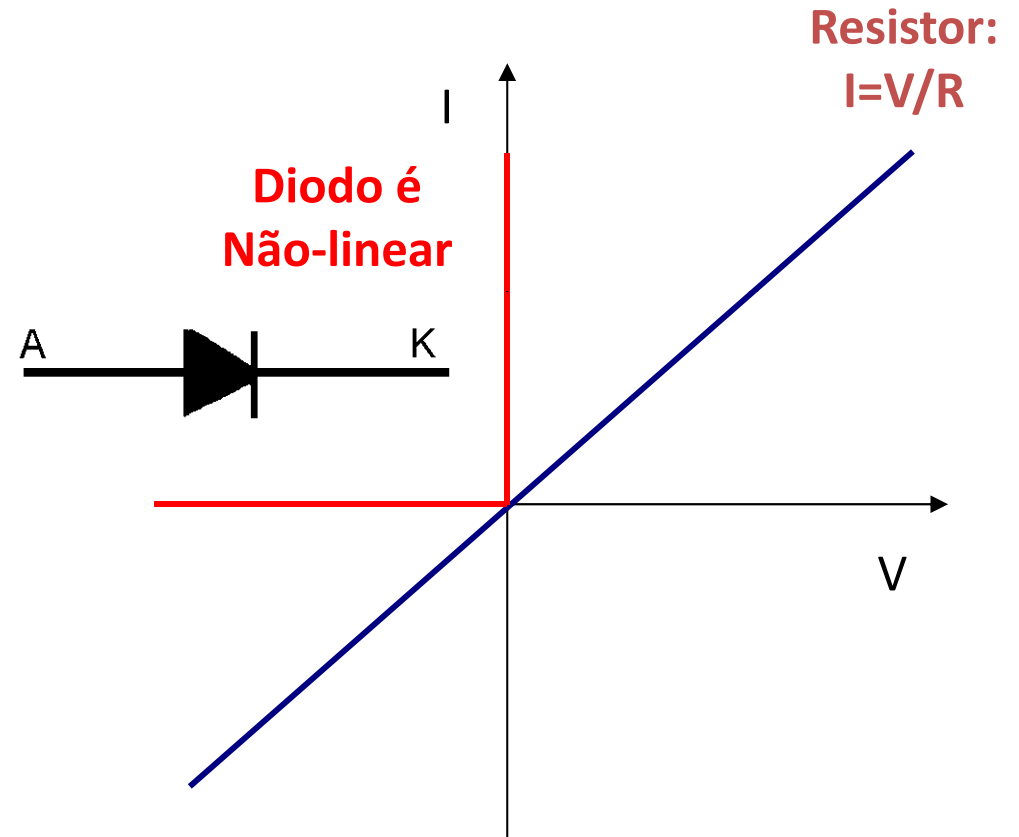
$$\sigma = n_n q_n \mu_n + n_p q_p \mu_p$$

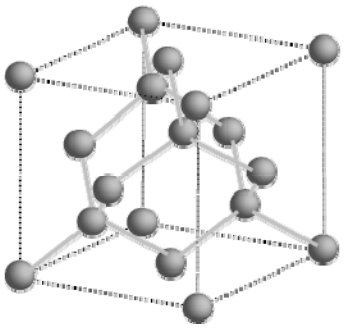
- A condução em semicondutores se dá tanto pela propagação de elétrons livres quanto pela propagação de buracos.
- A carga dos buracos é idêntica à dos elétrons livres exceto pelo sinal.
- A condutividade, portanto, é aumentada pelo incremento do número de portadores (dopagem), mas para níveis elevados de dopagem ela passa a ser limitada pela diminuição da mobilidade, logo há um ponto ótimo para a quantidade de dopantes adicionadas.



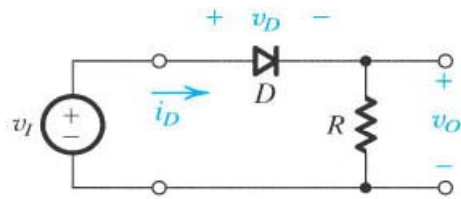
# Comparando um resistor e um diodo ideal

- Resistor tem comportamento linear
- Diodo é diferente
  - Se  $V$  é negativa, não passa corrente: “operação reversa”.
  - Se  $V$  é positiva, “operação direta”.

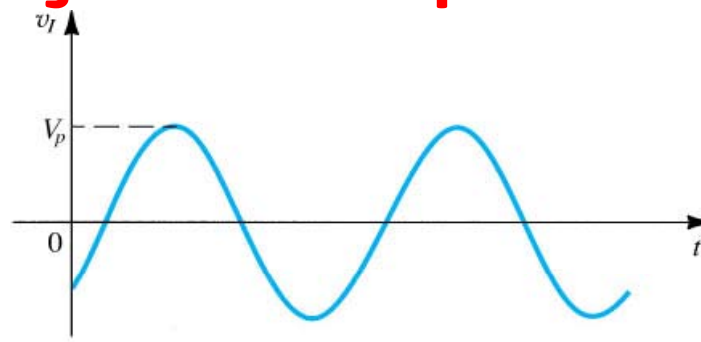




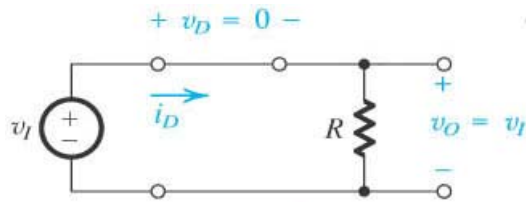
# Aplicação simples: retificador



(a)

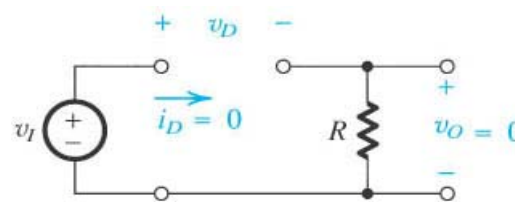


(b)



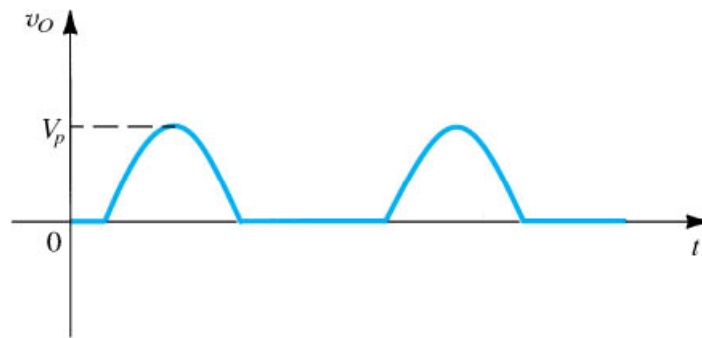
$$v_i \geq 0$$

(c)



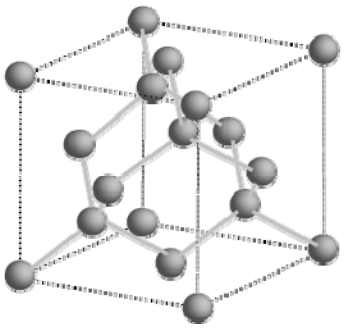
$$v_i \leq 0$$

(d)

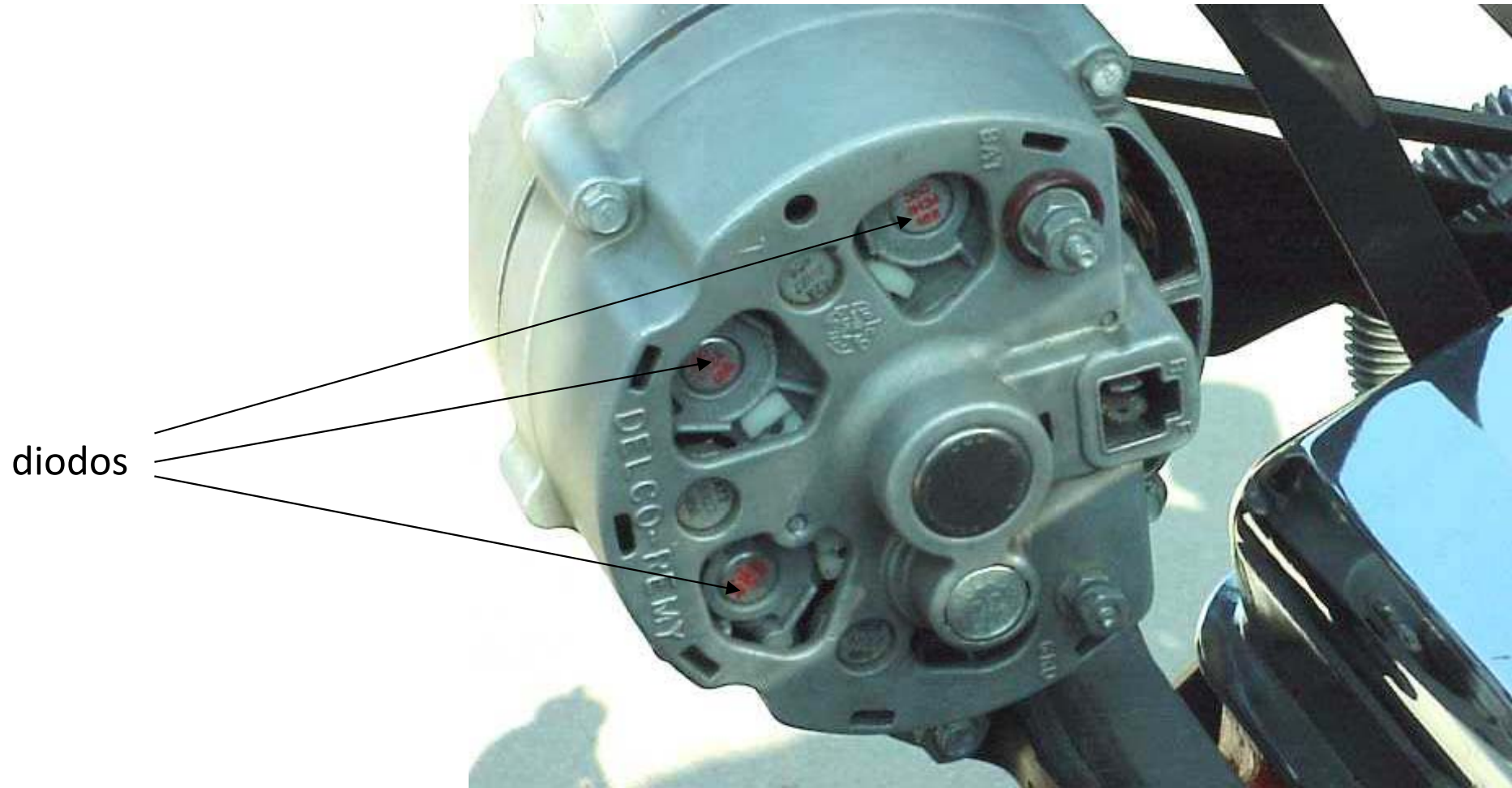


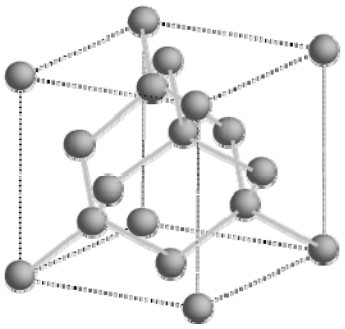
(e)

- Circuito retificador
- Forma de onda de entrada.
- Circuito quando  $v_f > 0$
- Circuito quando  $V_f < 0$
- Forma de onda de saída



# Diodos no alternador do automóvel





# Diodo real

## Polarização direta:

$I = I_s(e^{qV/nkT} - 1)$ , (equação de Shockley) onde  $I_s$  é chamada “corrente de saturação”

tipicamente  $10^{-15}$  A

$q$  é carga do elétron,  $q=1,6 \cdot 10^{-19}$  C

$k$  é a constante de Boltzmann

$T$  é temperatura em K

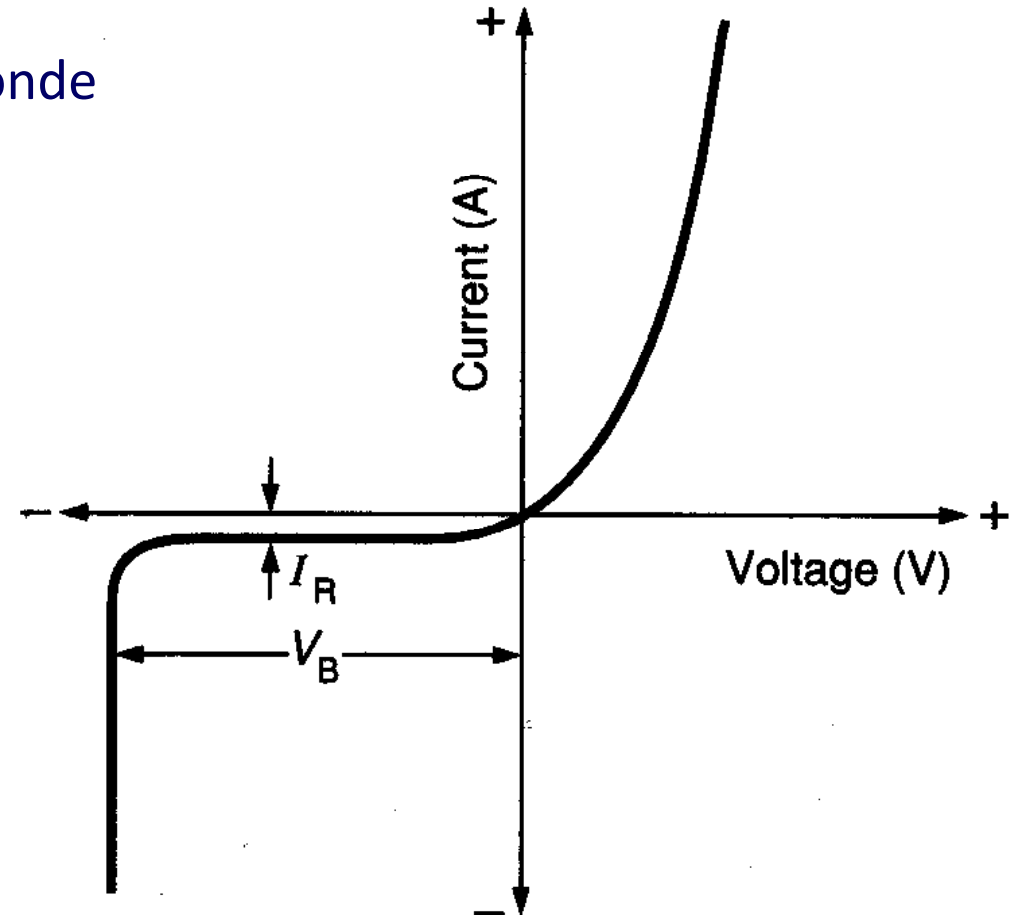
$n$  é constante do diodo,

entre 1 e 2

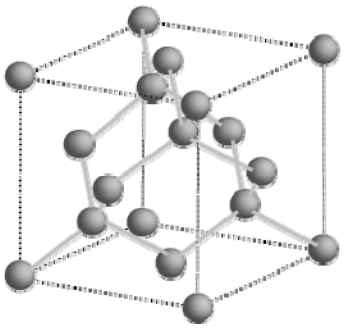
## Polarização reversa

$I_R$  corrente reversa = 1nA

$V_B$  ou  $V_Z$ , Tensão de ruptura,  
tensão de Zener



Current–voltage characteristics of a diode.



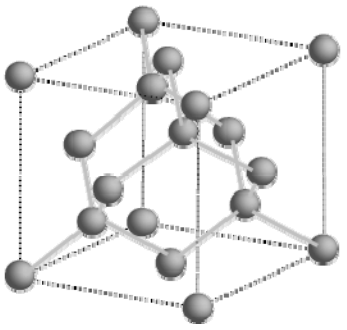
# “Tensão térmica”

- Na equação de  $I$  aparece  $q/kT$ .
- $kT/q$  tem unidade de “tensão térmica”, chamada de  $V_T$ .

- À  $T_{amb}$  :

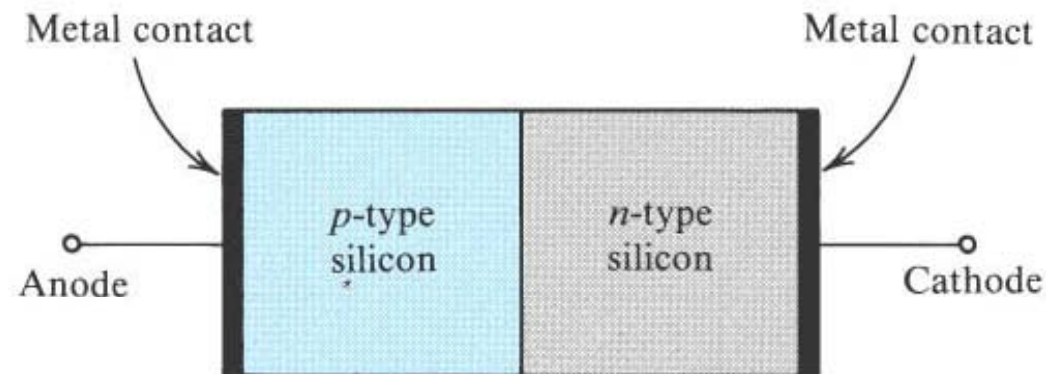
$$V_T = (1,38 \times 10^{-23} \text{ J/K}) \times 300 \text{ K} / (1,6 \times 10^{-19} \text{ C}) = 0,025 \text{ V.}$$

- Reescrevendo  $I = I_s (e^{qV/nkT} - 1) \sim I_s e^{V/nV_T}$  ,
- Mas como “funciona” o diodo?

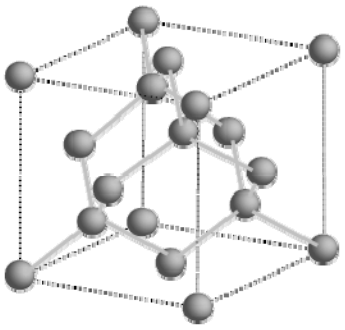


# Operação física dos diodos

- Diodo é fabricado fazendo uma junção entre dois semicondutores dopados.



- Programa da aula
  - Conceitos básicos de semicondutores
  - Junção **pn** em circuito aberto



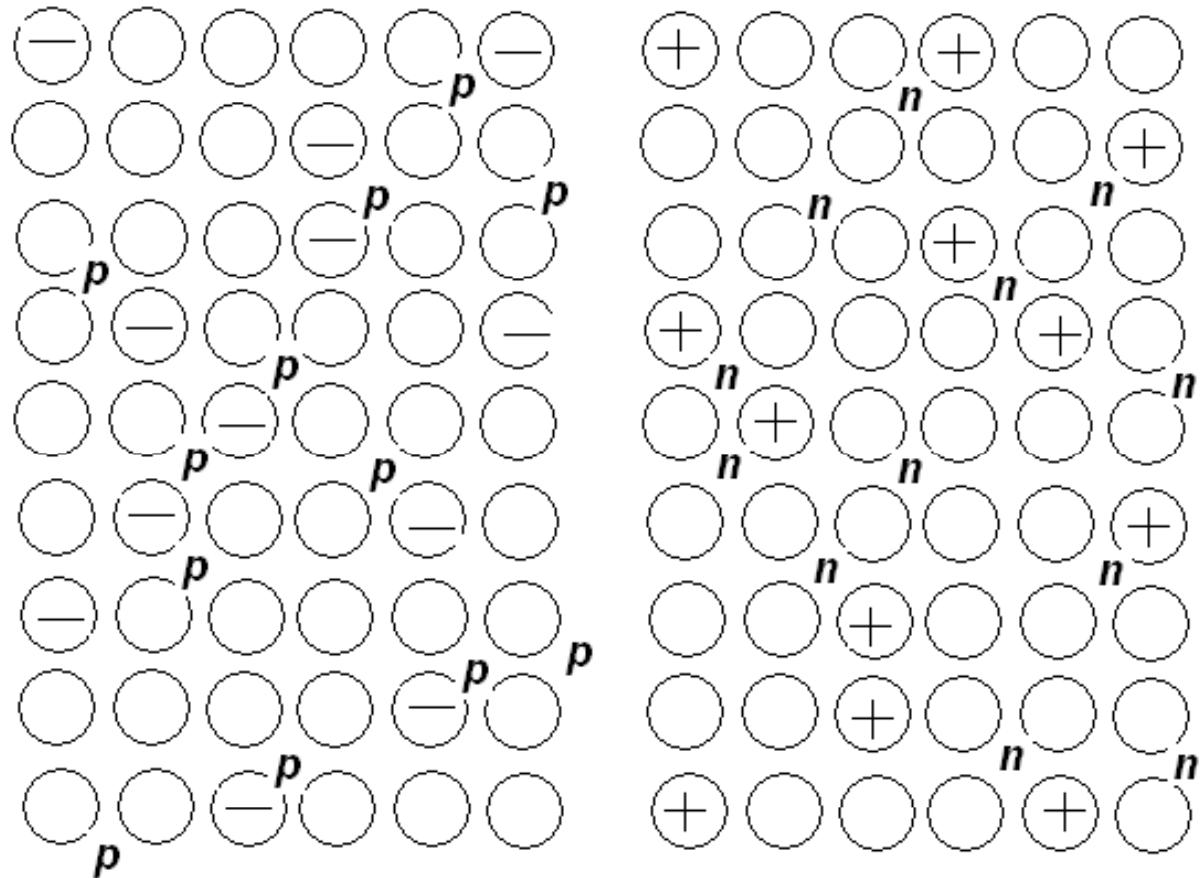
# Materiais p e n antes da junção

Os círculos representam átomos.

A imensa maioria dos átomos é de silício.

O lado p está dopado com Boro (B)

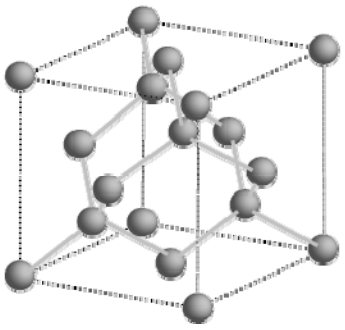
O lado n está dopado com fósforo (P).



Lado P está dopado com alguns átomos

ACEITADORES de elétrons, que tem 3 elétrons na b.v. Isso cria **buracos móveis "p"** mas o átomo dopante fica com um elétron a mais, é a **carga fixa negativa** (anions imóveis).

No lado n ocorre o processo inverso e os dopantes se tornam cátions imóveis.

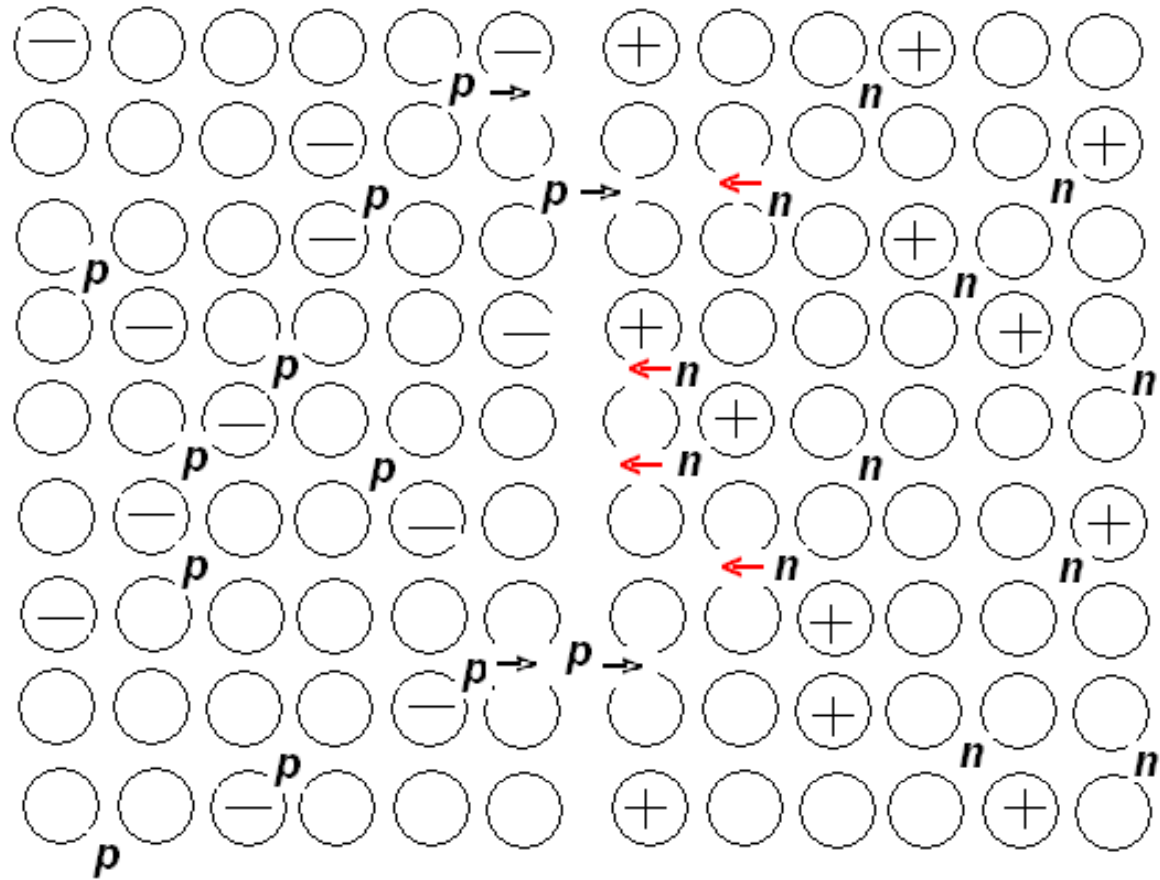


# Quando ocorre a junção entre p e n

Existem **poucos elétrons** na b.c.  
do lado p  
existem **muitos elétrons** na b.c.  
do lado n  
elétrons vão de **n** para **p**,

existem muitos buracos na b.v.  
do lado p  
existem poucos buracos na b.v.  
do lado n  
buracos vão de **p** para **n**

Corrente de difusão  $I_D$  não é  
induzida por campo elétrico

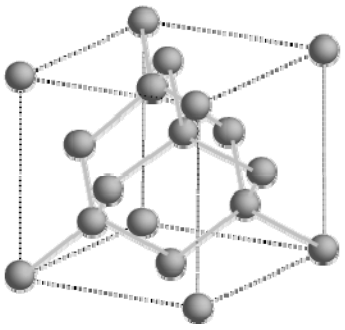


← elétrons

buracos →

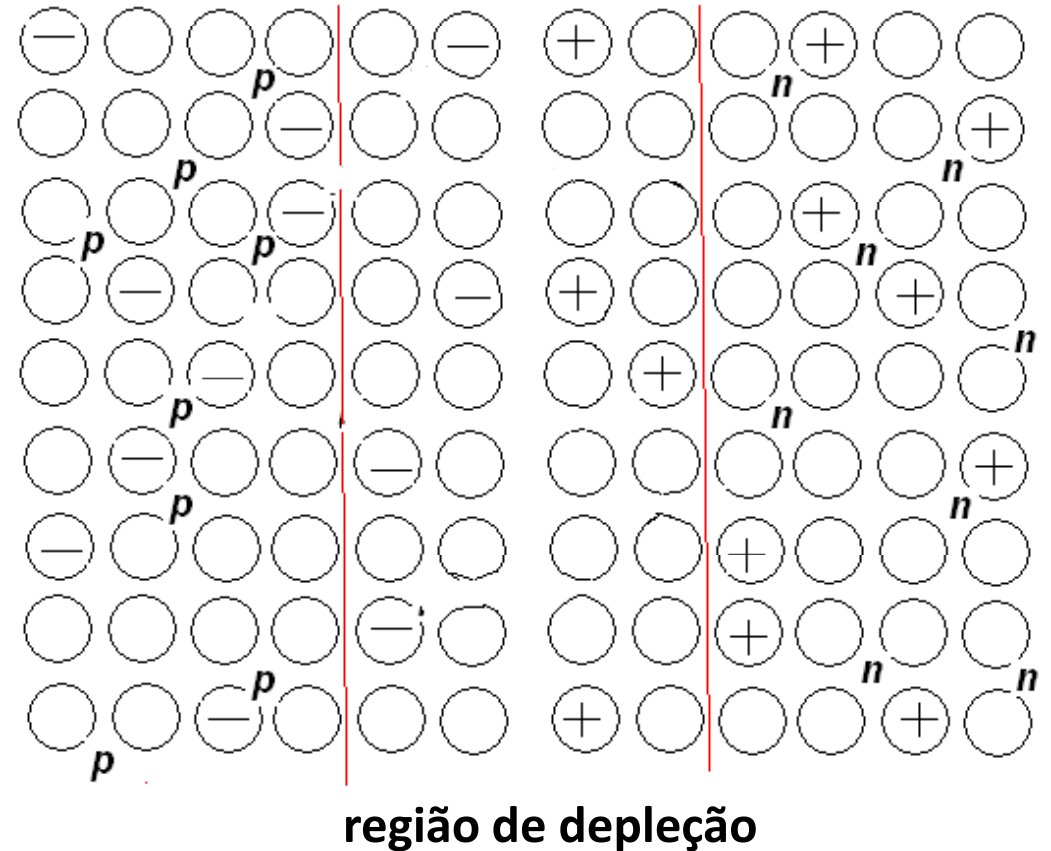
$I_D$  →

surge **Corrente de difusão  $I_D$**

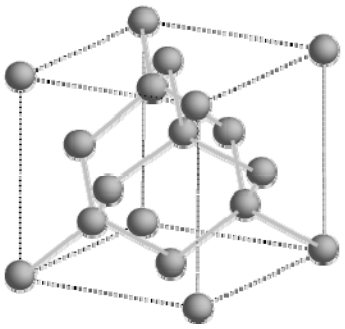


# Região de depleção

- Os elétrons da região n injetados na região p, se recombinam com os buracos da região p
- O **diodo** é eletricamente neutro, mas na fronteira da região p com a região vizinha, agora tem excesso de **íons negativos**.
- Vice versa no lado n
- Surge um campo elétrico intrínseco



O lado n fica com região positiva  
 O lado p fica com região negativa  
 Isso cria um Campo Elétrico, contrário à corrente de difusão, diminuindo o movimento dos portadores



# tensão de barreira $V_0$

Resultante do campo elétrico criado na região de depleção

Age contrariamente à corrente de difusão.

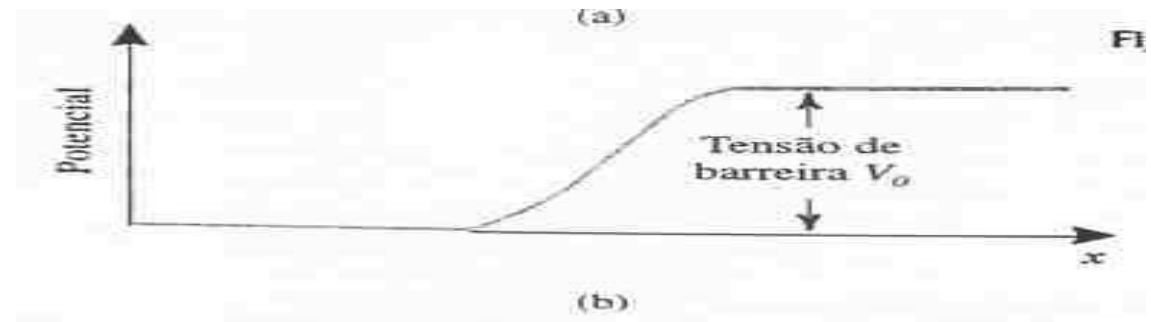
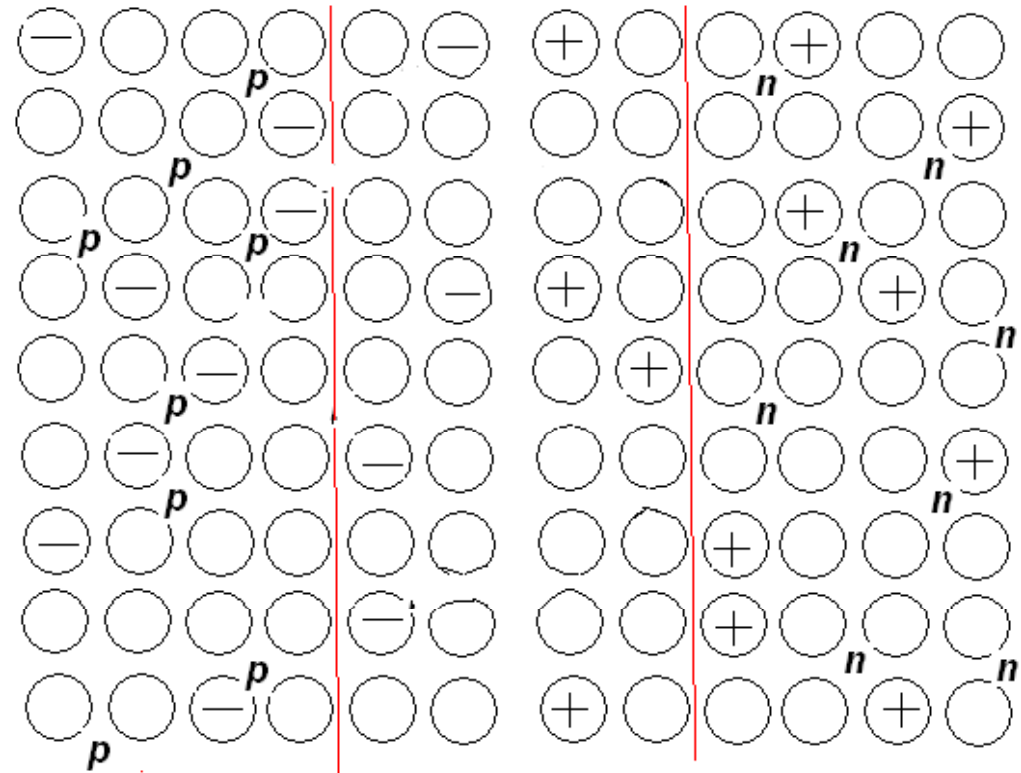
A corrente de difusão  $I_D$  é muito dependente de  $V_0$

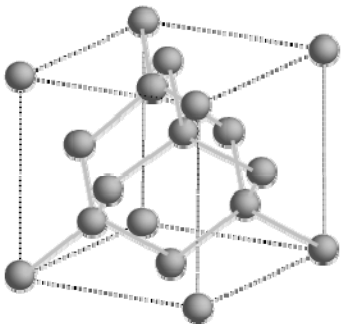
$V_0$  depende de  $N_A$  e  $N_D$ .

$$V_0 = V_T \ln \left( \frac{N_A N_D}{n_i^2} \right)$$

para diodo de Si comum a 25°C,  $V_0$  é da ordem de 0,7V .

$V_T$  = tensão térmica =  $kT/q$

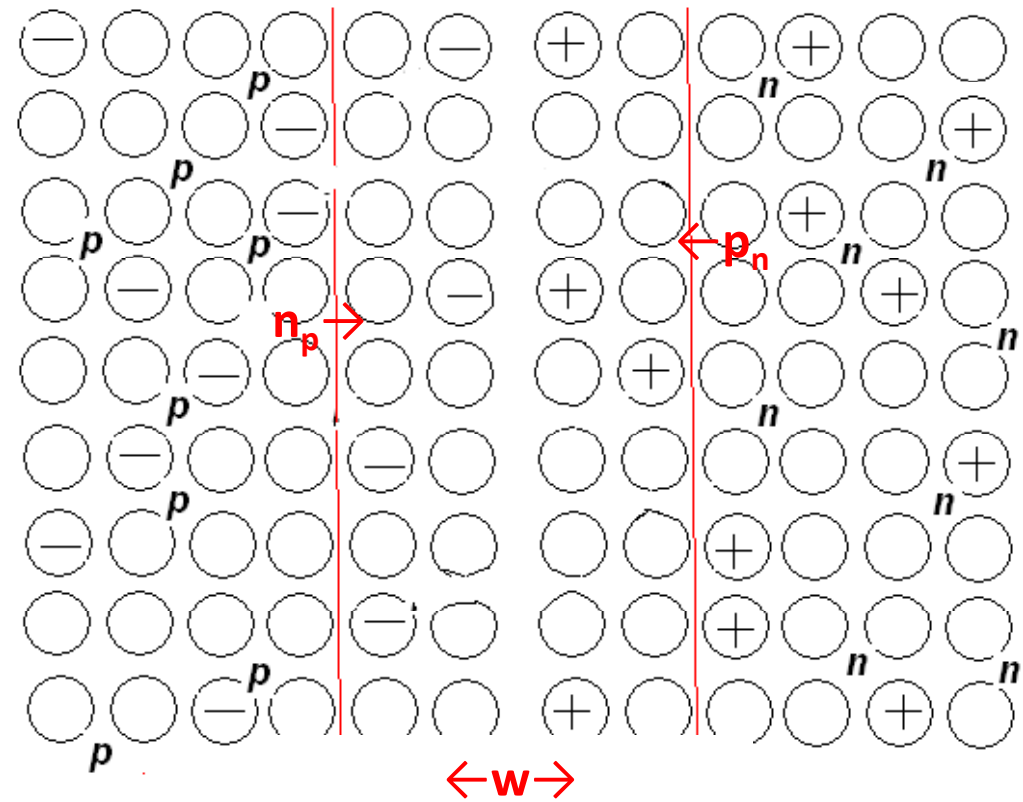




# Corrente de deriva $I_s$

A tensão de barreira é contrária ao movimento dos portadores majoritários,  
Mas ela acelera os portadores minoritários

Lado p tem poucos elétrons na b.c. Os elétrons que cruzarem a fronteira da zona de depleção serão acelerados para lado n. Vice versa no lado n

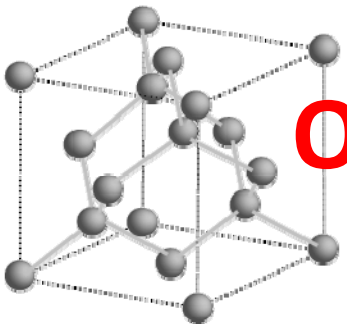


$$I_s = A \cdot \sigma \cdot E = A \cdot (n \cdot q \cdot \mu) \cdot E$$

A área da seção transversal  
n é nº portadores minoritários  
 $\mu$  é a mobilidade do portador  
E é campo elétrico na região de Depleção

$$E = V_o / w$$



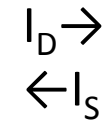
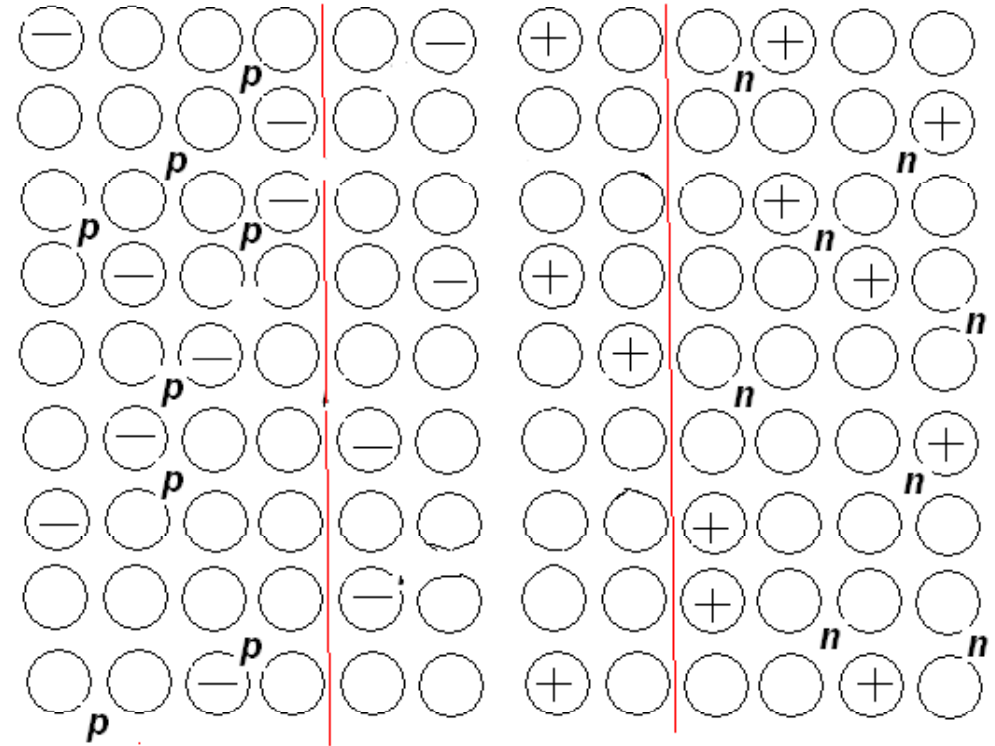


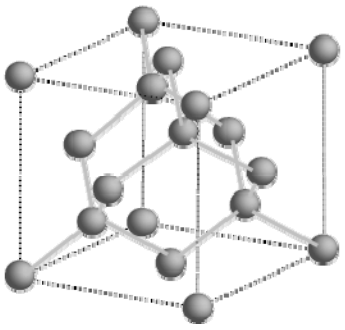
# O equilíbrio entre $I_D$ e $I_S$ no circuito aberto.

- $I_D$  flui de p para n
- $I_S$  flui de n para p
- Em circuito aberto não há corrente resultante

$$I_S = I_D$$

- É uma condição auto-equilibrada.





# A largura da camada de depleção

Existe região de depleção dos dois lados da junção.

Como os níveis de dopagem dos dois lados não são iguais, as larguras não são iguais.

O lado **menos dopado** terá camada **mais espessa**.

Igualando as cargas dos dois lados:

(Carga de cada portador \* n° portadores \* volume)

$$q N_A x_p A = q N_D x_n A$$

$$\frac{x_n}{x_p} = \frac{N_A}{N_D}$$

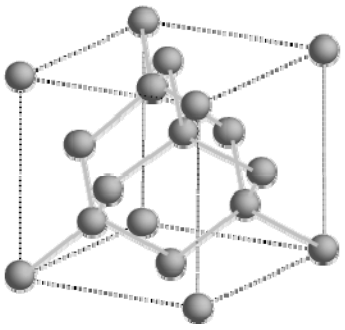
Largura total:

$$W_{dep} = x_n + x_p = \sqrt{\frac{2\epsilon_{Si}}{q} \left( \frac{1}{N_A} + \frac{1}{N_D} \right) * V_0}$$

onde a permissividade elétrica do silício  $\epsilon_{Si} = \epsilon_r \epsilon_0 = k \epsilon_0 = 1,04 \cdot 10^{-12} \text{F/cm}$

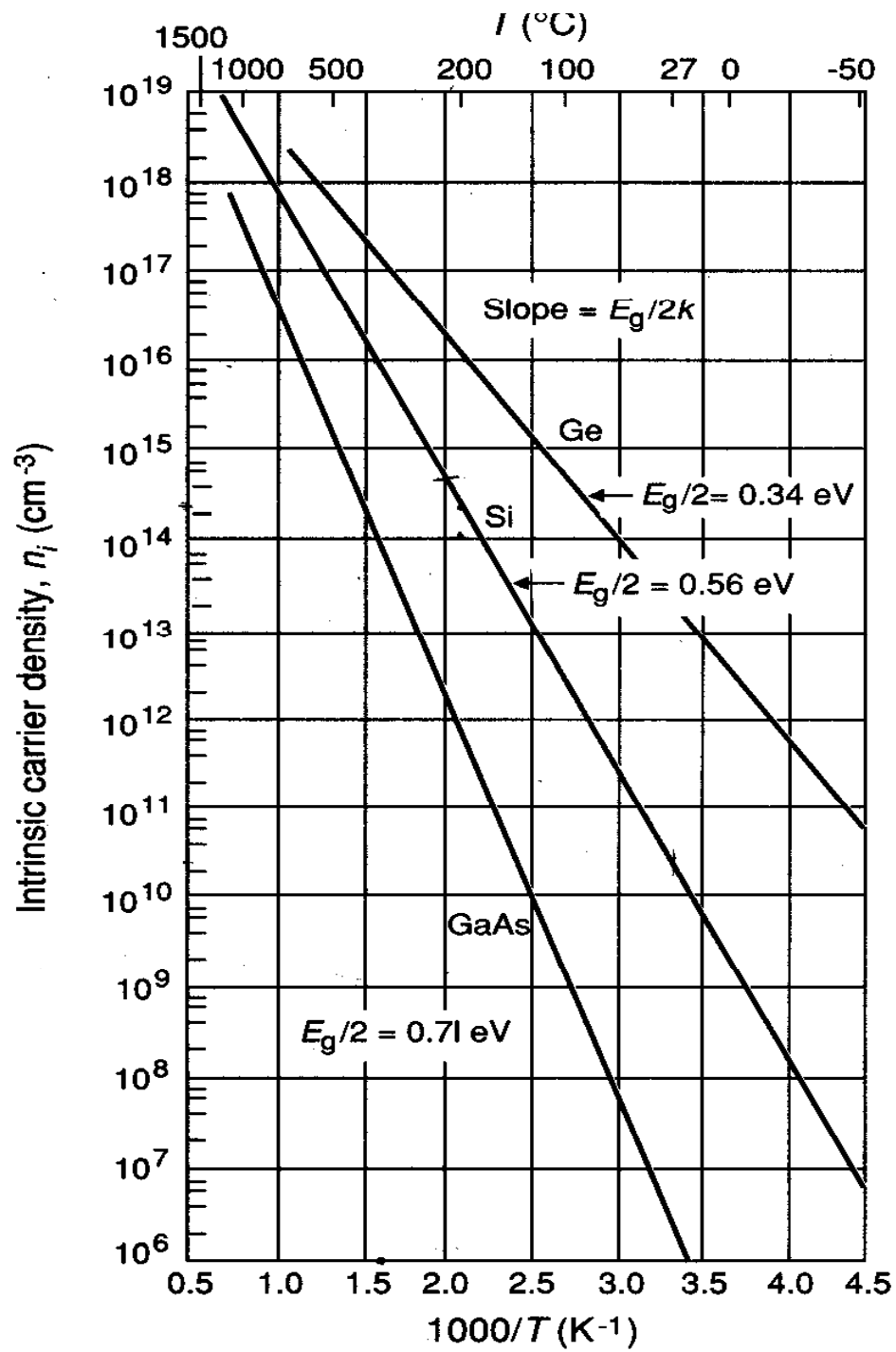
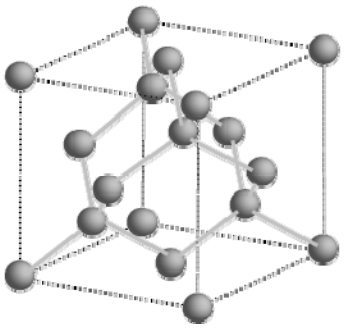
$N_A$  = número de portadores aceitadores

$N_D$  = número de portadores doadores

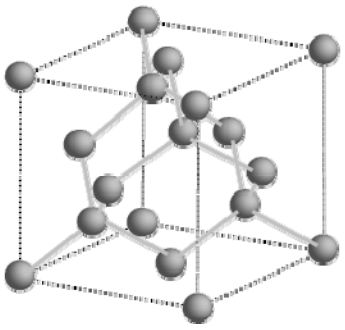


# Exercício

- Calcular a tensão de barreira, a largura da região de depleção e a sua extensão do lado p e lado n de um diodo de silício com  $N_A=10^{17}/\text{cm}^3$ ,  $N_D=10^{16}/\text{cm}^3$ , a temperatura ambiente, dado o gráfico  $n_i$  em função da temperatura:
- Respostas: 728 mV; 0,32 $\mu\text{m}$ ; 0,03 e 0,29 $\mu\text{m}$

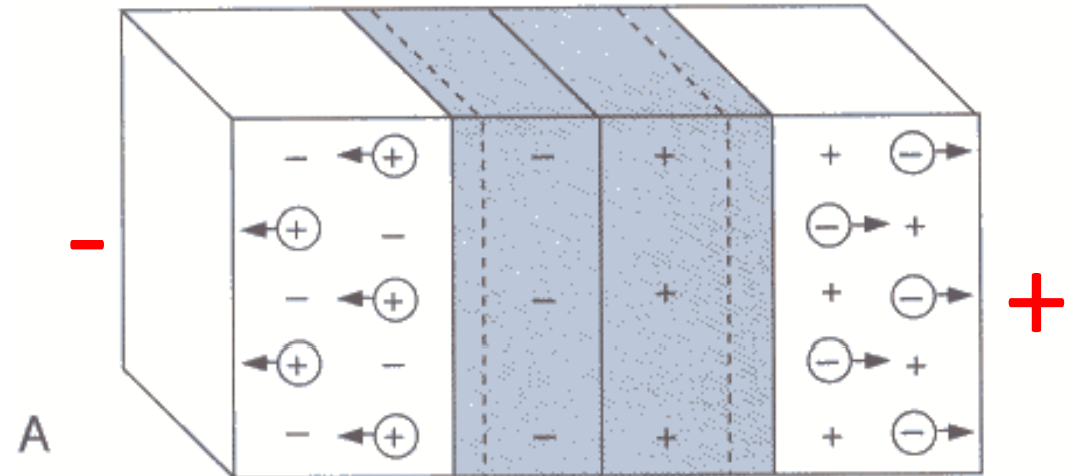


Intrinsic carrier densities versus  $1/T$  K in Si, Ge, and GaAs.

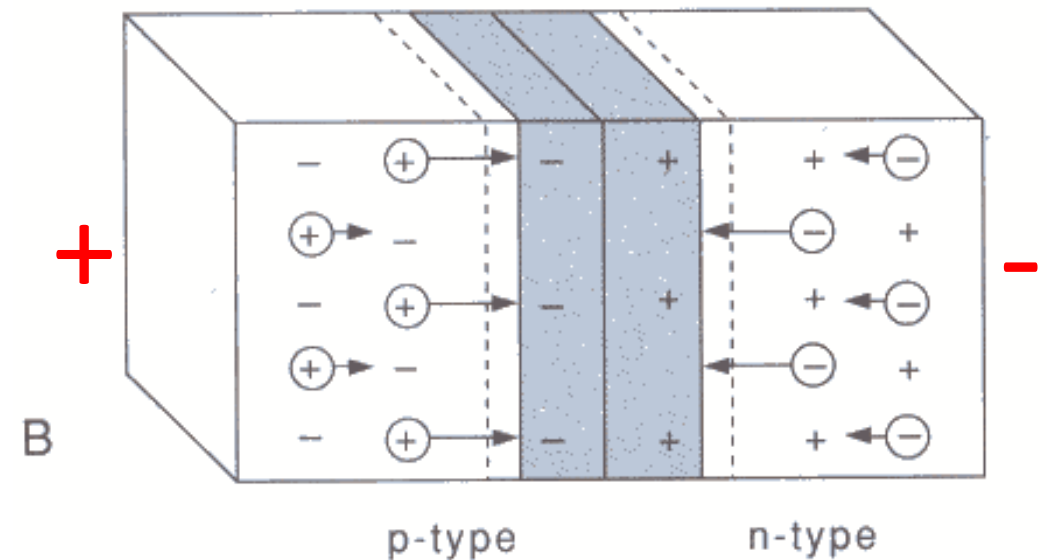


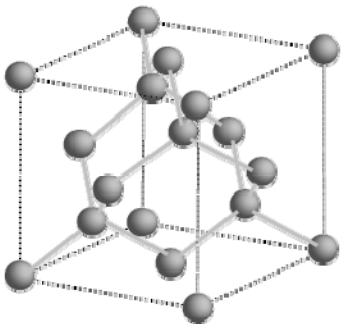
# Polarização do diodo

- Polarização reversa:  
 (-) no lado p, (+) no lado n  
 Z.dep. aumenta  
 Não passa corrente



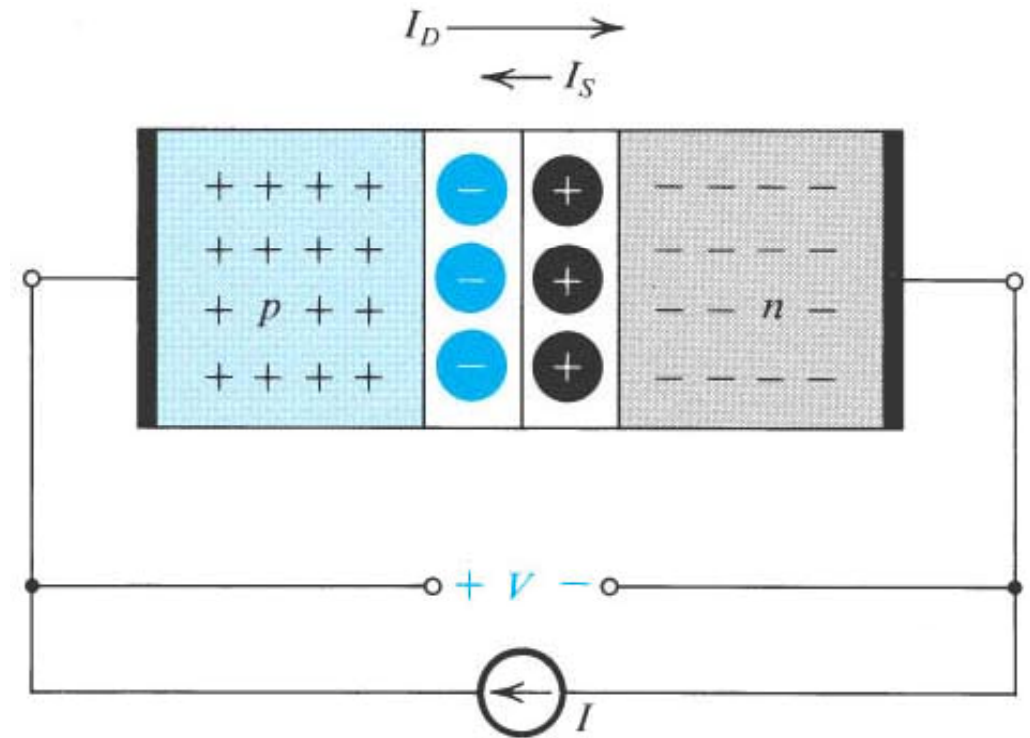
- Polarização direta  
 + no lado p, - no lado n  
 Z. depl diminui  
 Passa corrente  
 $I_D > I_s$

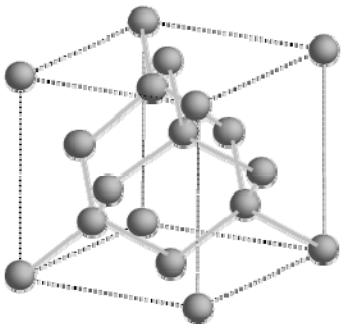




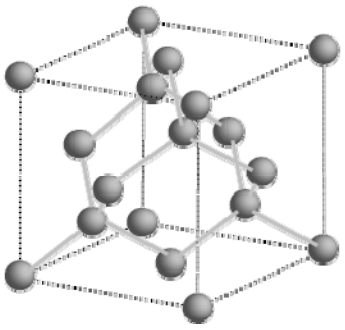
# Polarização Direta

- Fonte externa fornece elétrons do lado n e lacunas do lado p.
- Zona de depleção diminui.
- Tensão de barreira diminui.
- Lacunas de p atravessam a Z.D. e são injetadas no lado n.
- E vice versa





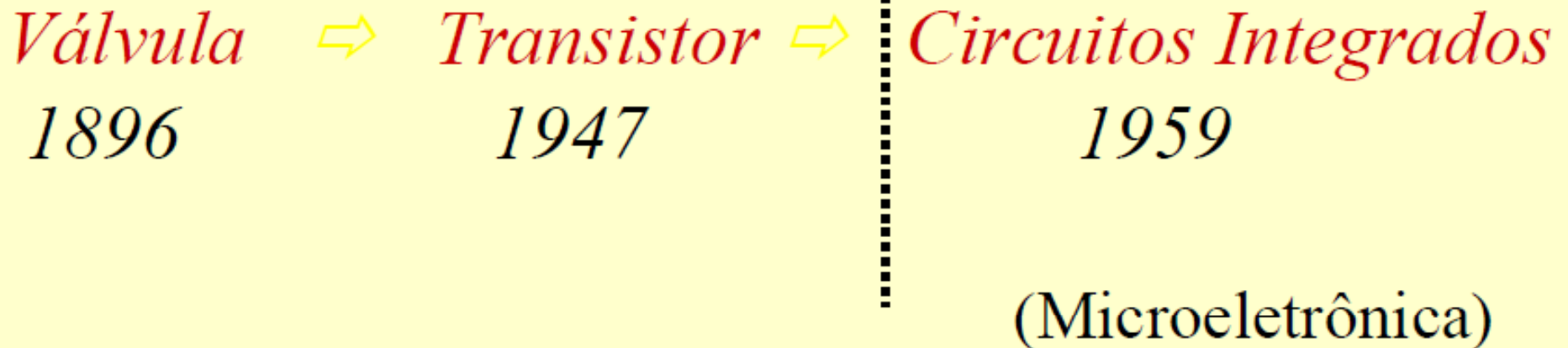
**Fim da primeira parte**



# Transistor

## → *Evolução da Eletrônica*

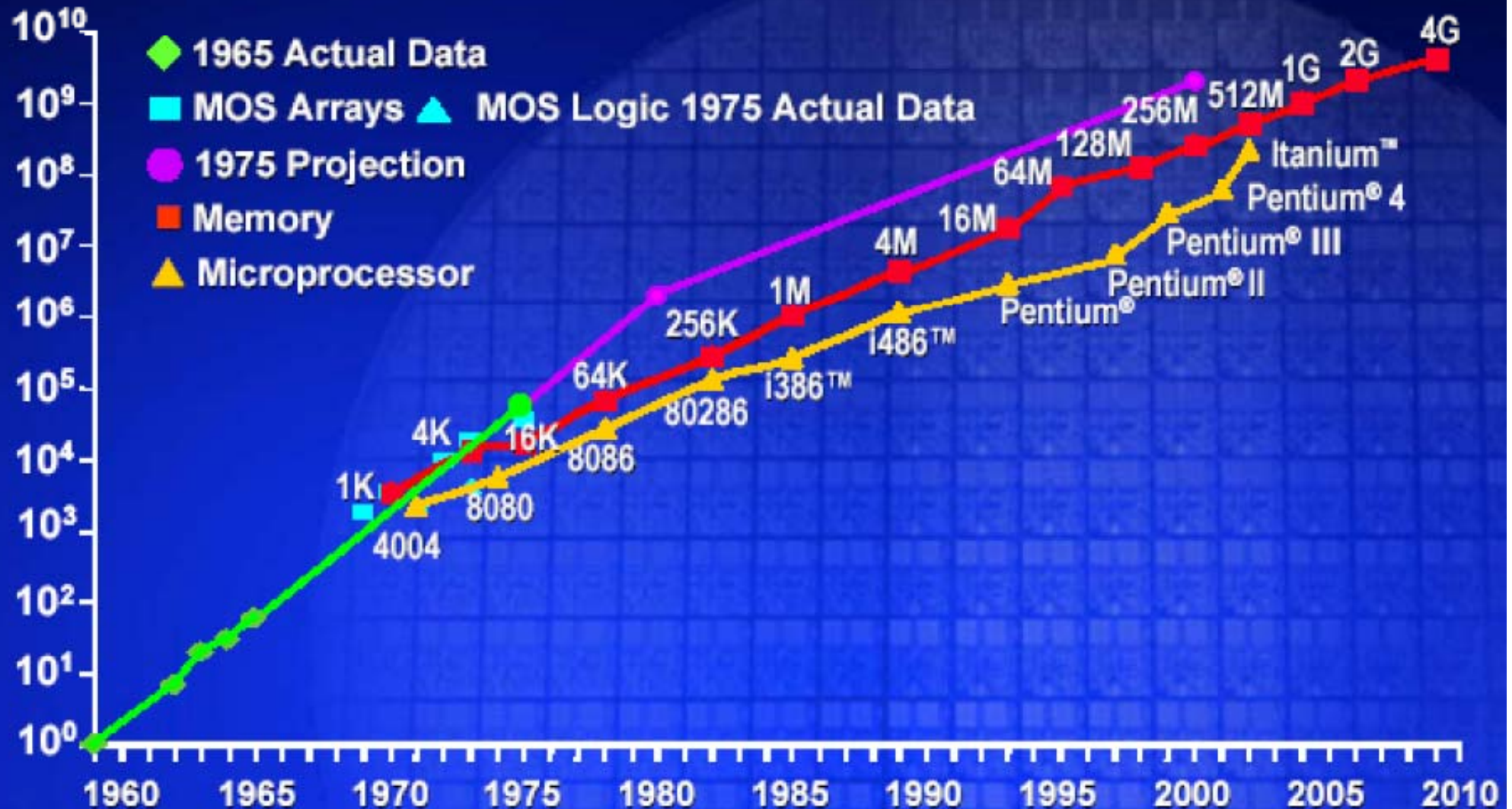
Transistor é um dispositivo semicondutor usado na construção de circuitos lógicos, como os microprocessadores.



# Complexidade do Circuito Integrado

Transistors  
Per Die

LEI DE MOORE (Gordon Moore – Intel)



# Nanotecnologia

## Abordagens

- De cima para baixo (*top-down*):

### Miniaturização

ex: Lei de Moore - 1965 (microeletrônica):

“O número de componentes eletrônicos em um circuito eletrônico dobrará a cada ano.”

1965: 60 transistores em um chip

1975: 60.000 transistores

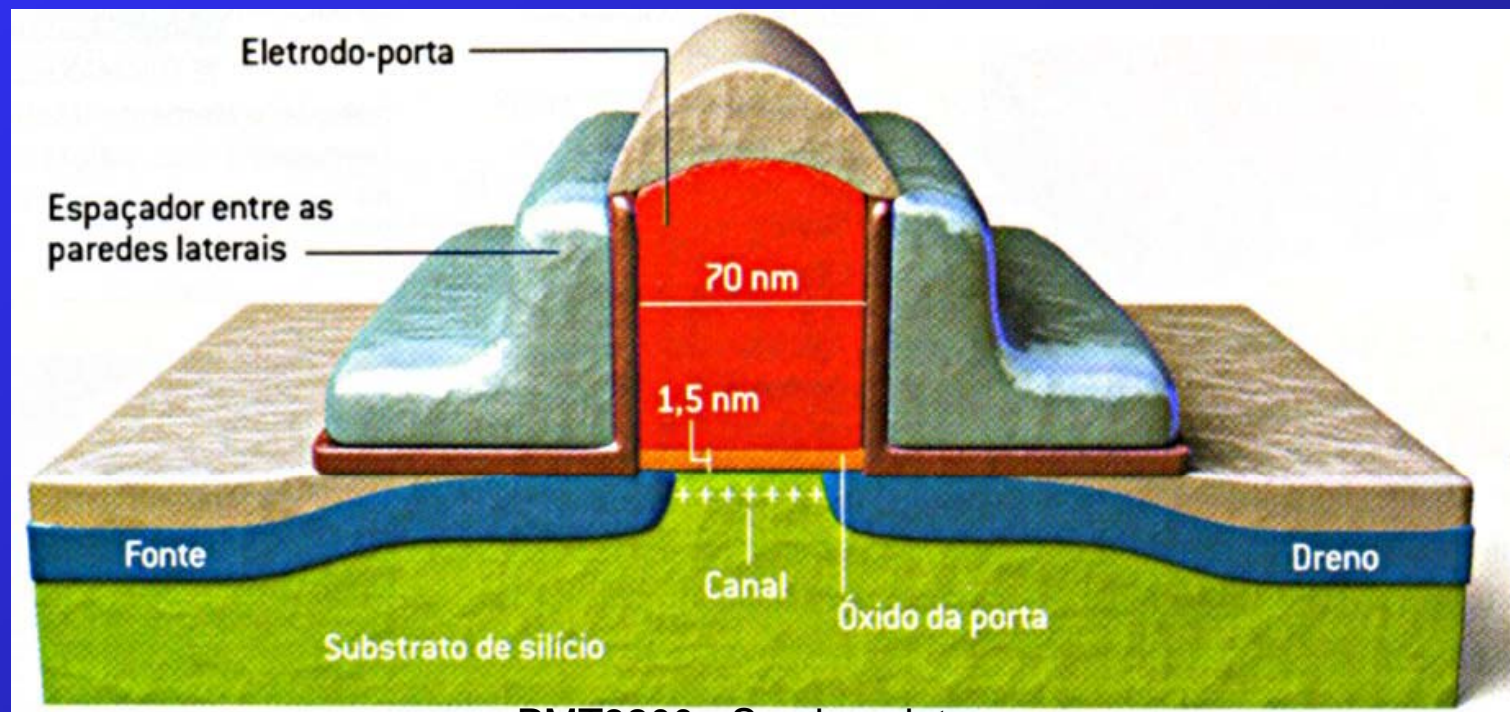
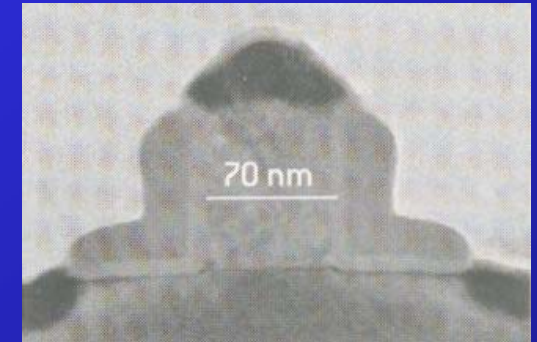
2000: Pentium IV - 42 milhões de transistores com dimensões na casa dos nanômetros

# Nanotecnologia

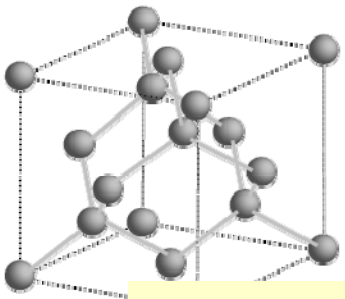
## Abordagens

- De cima para baixo (*top-down*)

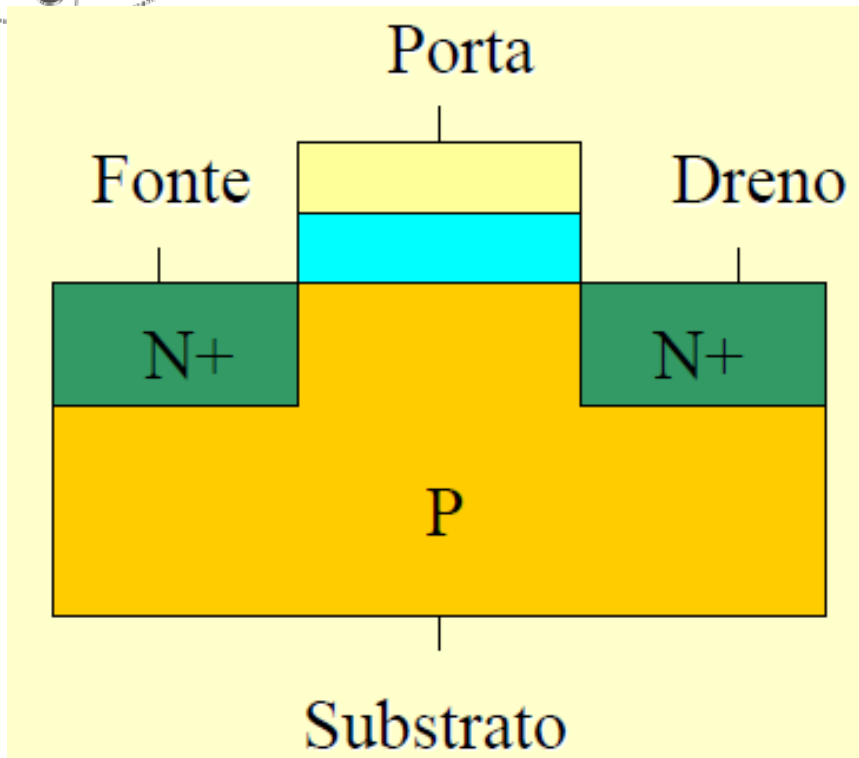
Transistor de efeito de campo - Pentium 4



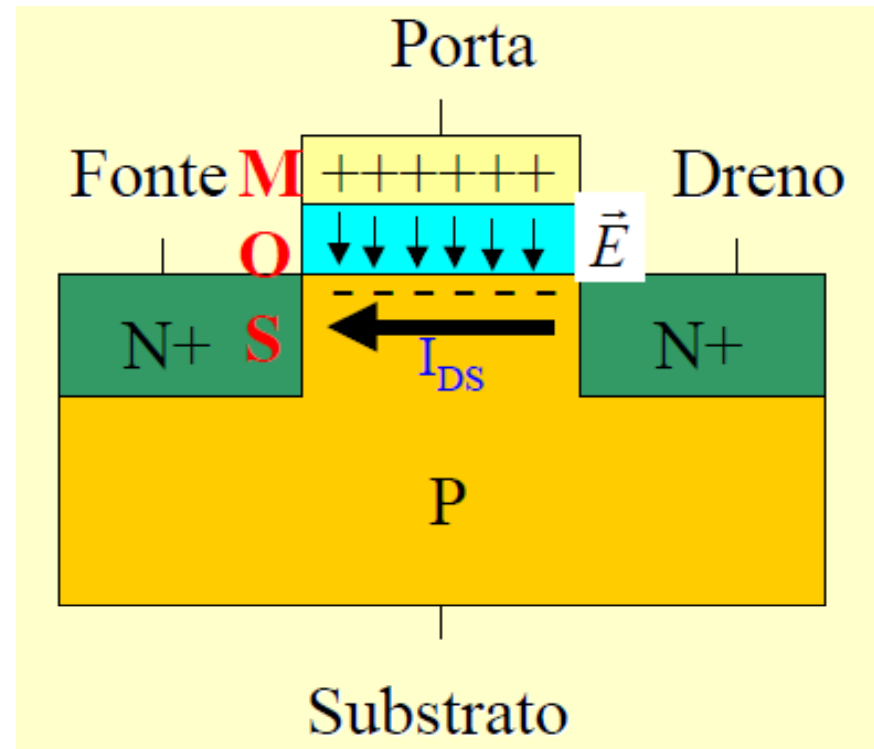




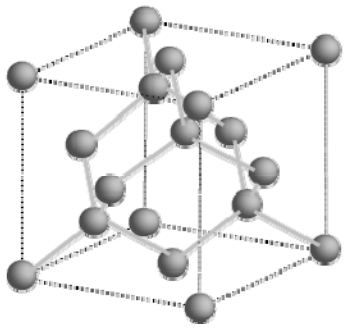
# MOS



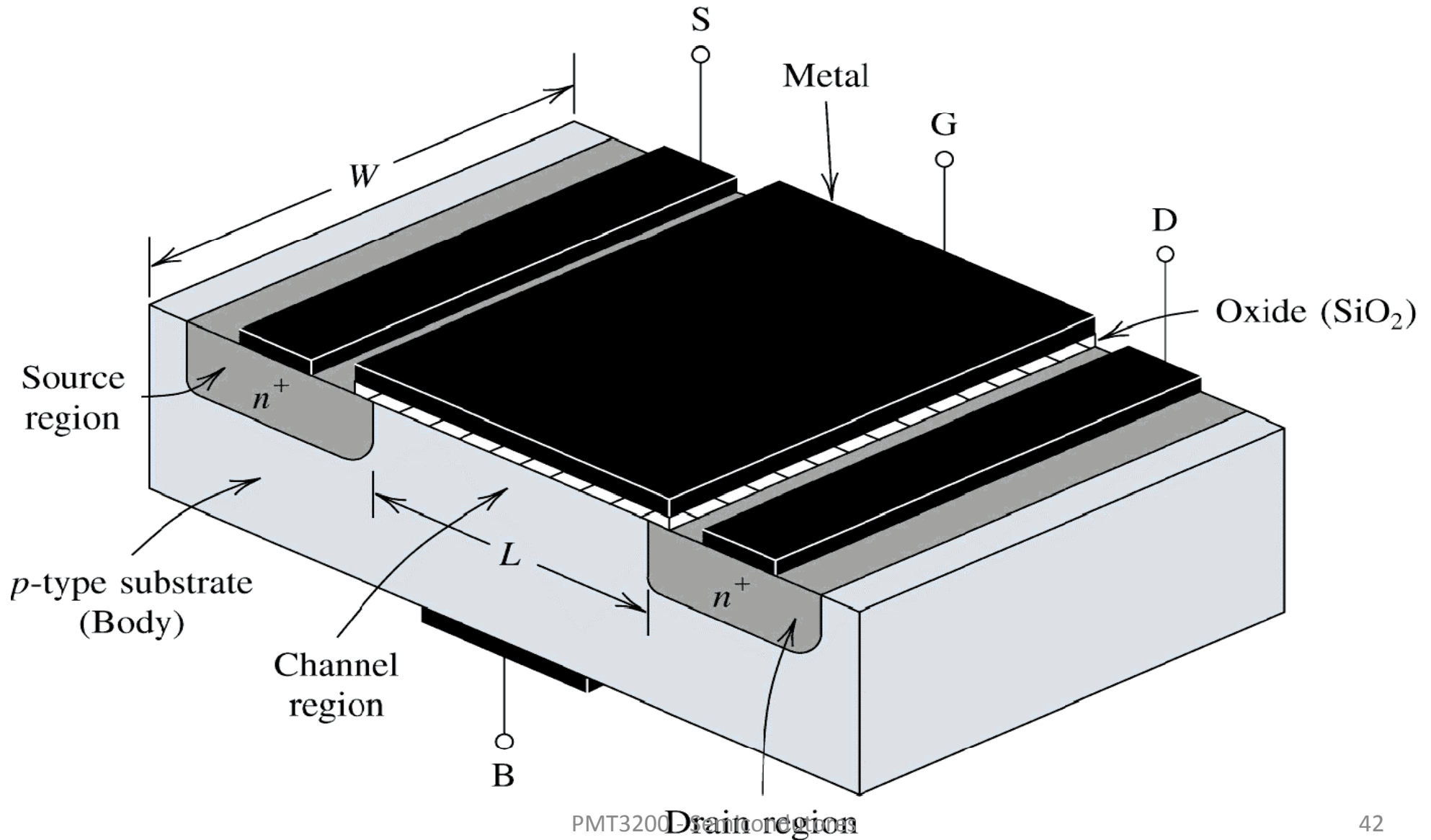
Opera como parte de uma porta lógica:  
**Se** houver tensão (+) na porta  
**Então** passa corrente.



Tensão (+) na porta atrai elétrons para o canal entre a fonte e o dreno e aumenta condutividade nessa região.



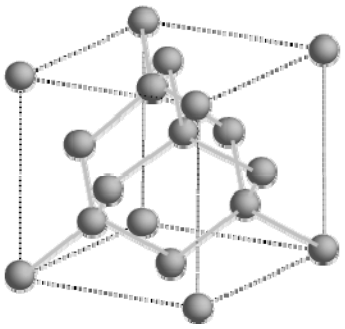
# Transistor Metal Óxido Semicondutor - MOS



# Processo de Fabricação de Circuitos Integrados

## *Principais Etapas de Processo:*

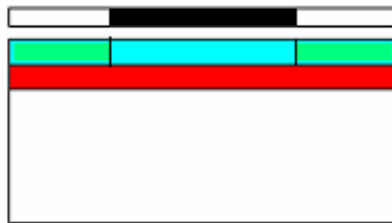
- ⇒ Oxidação Térmica
- ⇒ Deposição de óxido de silício
- ⇒ Fotogração
- ⇒ Corrosão Química
- ⇒ Difusão de Impurezas
- ⇒ Implantação Iônica



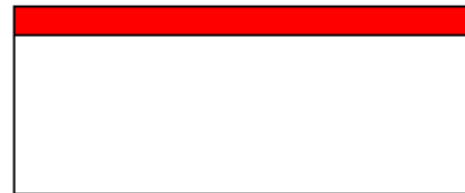
# O processo de fabricação de um transistor MOS em 12 etapas



1) Limpeza (HF)



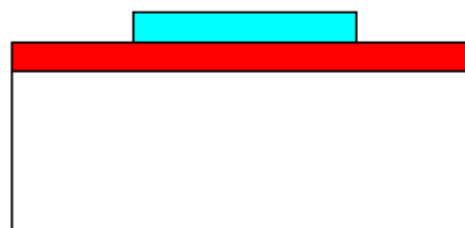
4) Fotogração: exposição à luz UV



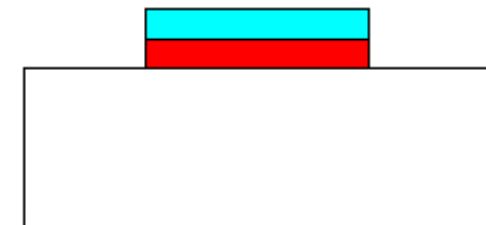
2) Oxidação: óxido de campo (amorfo)



3) Aplicação de fotorresiste (PR)



5) Remoção do PR (solução de acetona)



6) Corrosão do óxido: abertura das regiões de fonte e dreno

□ Si tipo P

■ Si tipo N

■ Máscara

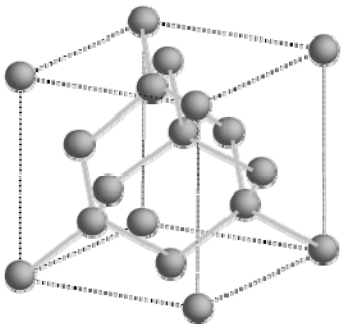
■ SiO<sub>2</sub>

■ PR

■ Al

↓ Luz UV

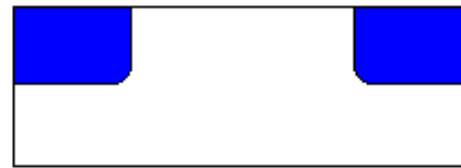
■ PR sensibilizado 44



# O processo de fabricação de um transistor MOS



7) Deposição e Difusão de dopantes: formação de fonte e dreno



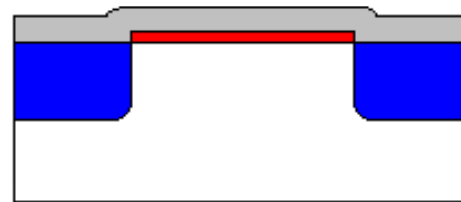
8) Remoção do óxido de campo e do PR



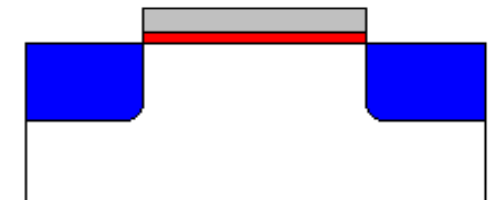
9) Oxidação térmica: óxido de porta



10) Fotogravação / Corrosão do óxido



11) Metalização: deposição de Al



12) Fotogravação / Corrosão do Al

□ Si tipo P

■ SiO<sub>2</sub>

■ Si tipo N

■ PR

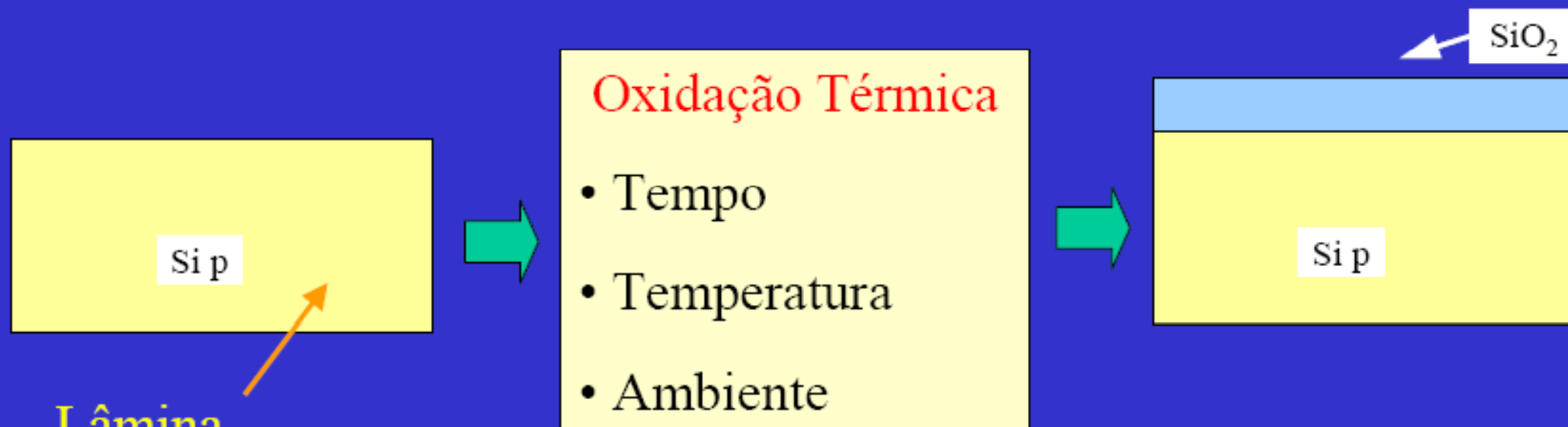
■ Máscara

■ Al

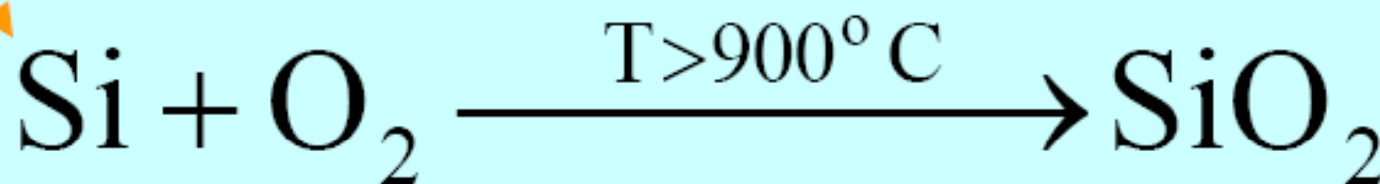
↓ Luz UV

## Oxidação Térmica:

Objetivo: Obtenção de óxido de silício ( $\text{SiO}_2$ ) sobre o silício

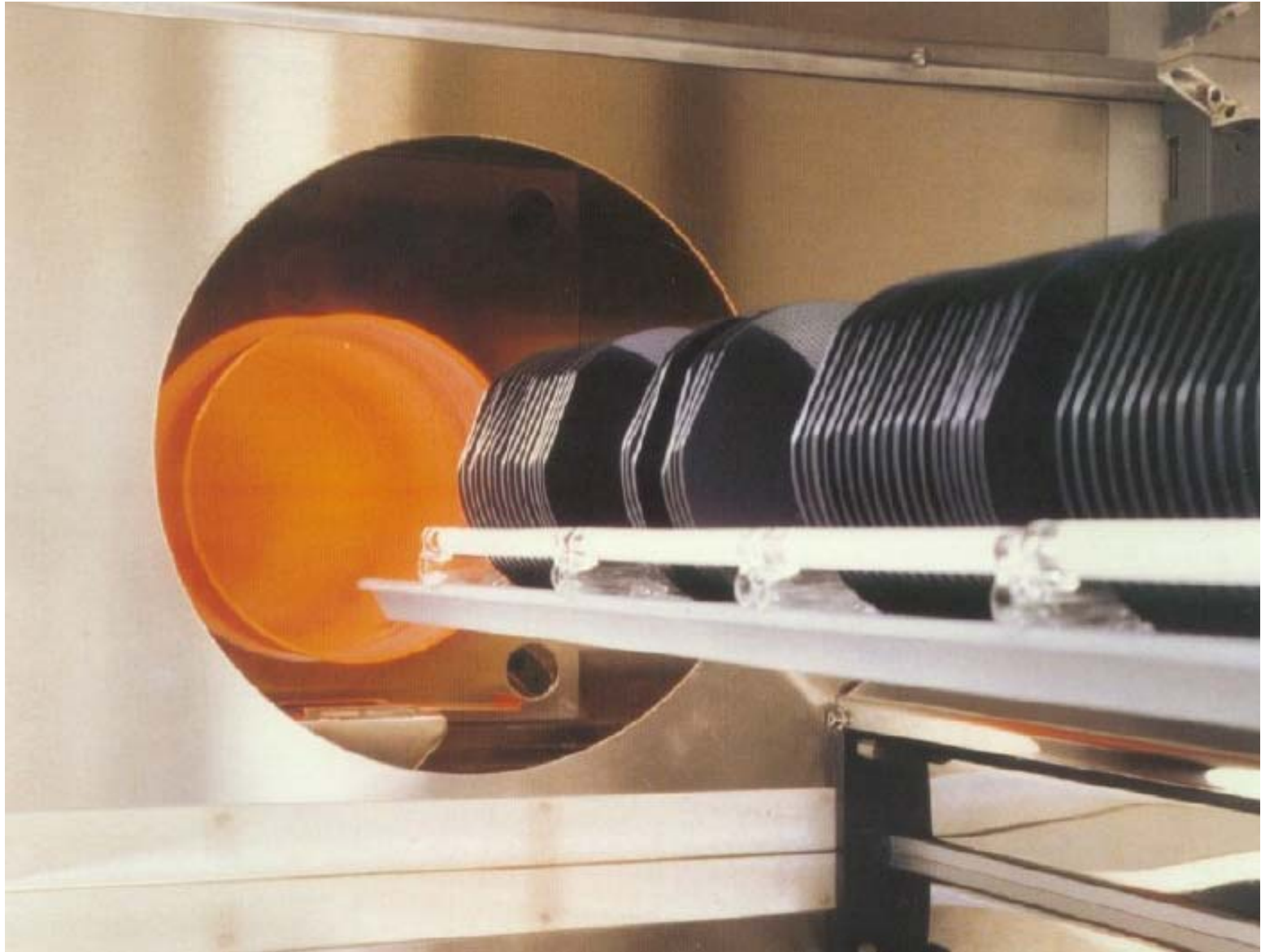
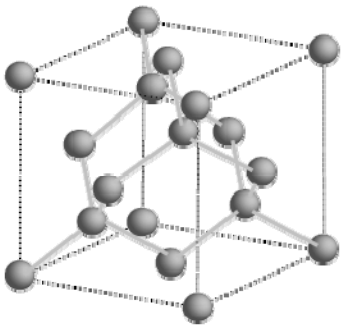


Lâmina



### Funções Principais

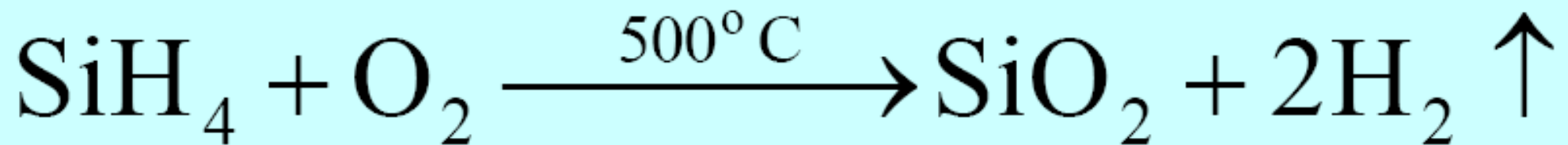
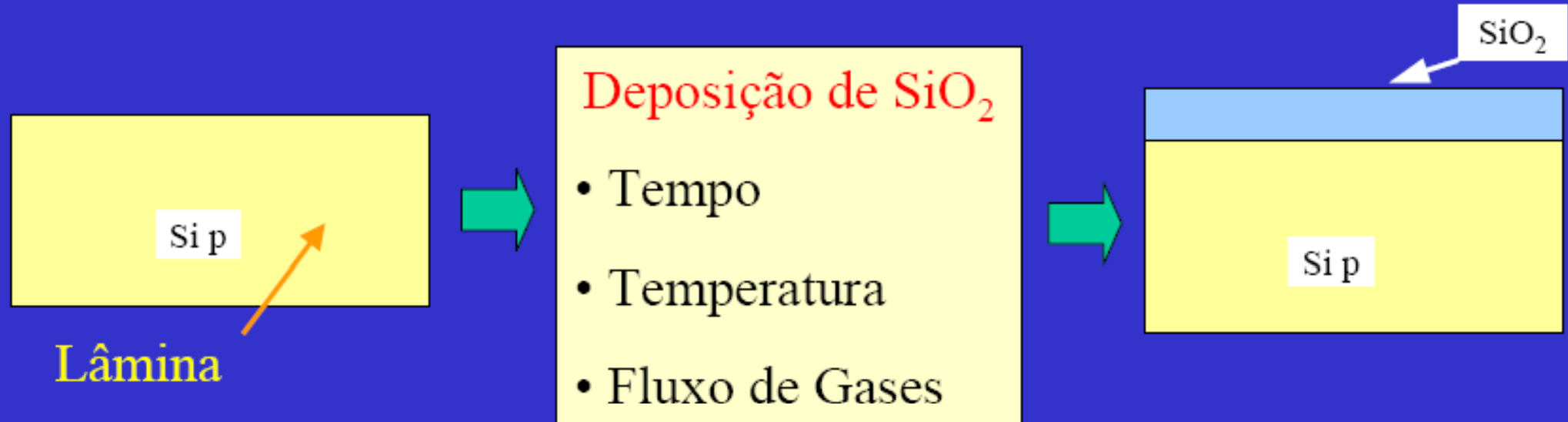
- Mascaramento contra impurezas
- Dielétrico de porta



- Lâminas de Si sendo levadas ao forno para a etapa de oxidação térmica

## Deposição de Óxido de Silício: (C.V.D.)

Objetivo: Obtenção de óxido de silício ( $\text{SiO}_2$ ) sobre o silício ou outra superfície qualquer

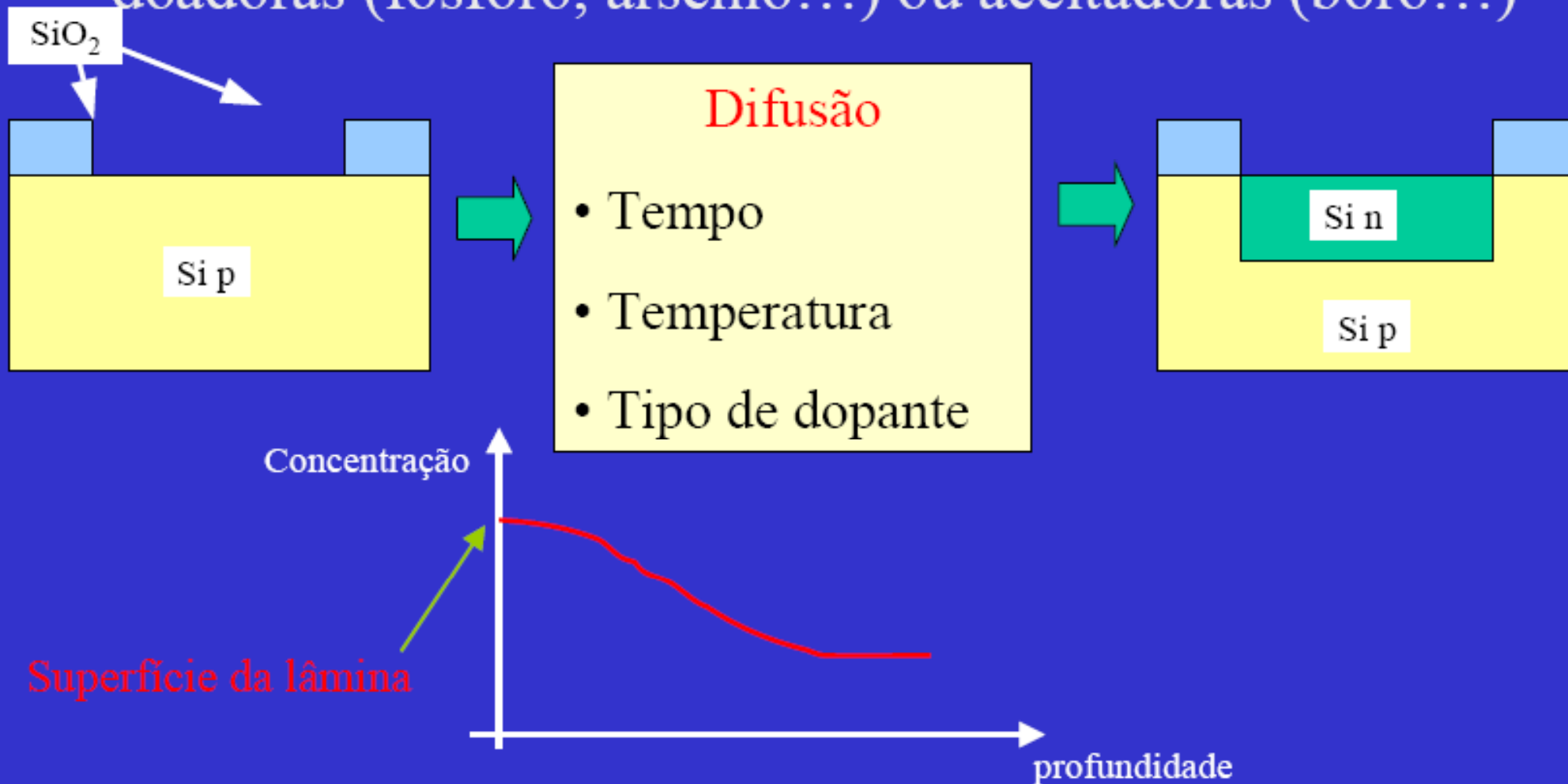


### Função Principal

- Mascaramento contra impurezas

## *Difusão de Impurezas:*

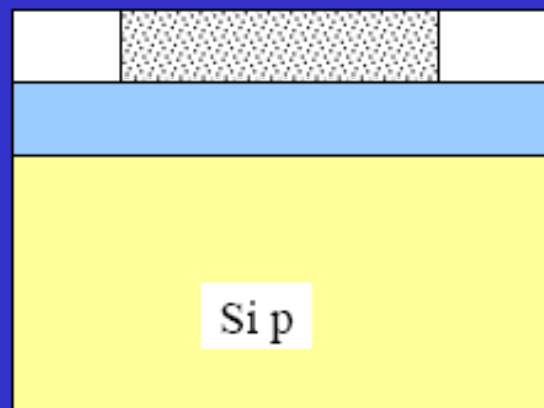
**Objetivo:** introduzir na rede cristalina do Si impurezas doadoras (fósforo, arsênio...) ou aceitadoras (boro...)



### **Função Principal**

- criação de uma região com características doadora ou aceitadora

- *Aplicação de Fotorresiste na lâmina*
- *Exposição à luz ultravioleta*
- *Revelação*
- *Corrosão química*
- *Remoção do Fotorresiste*

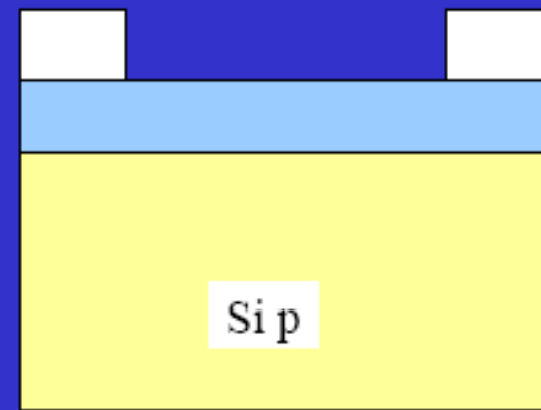


Fotomáscara

Fotorresiste

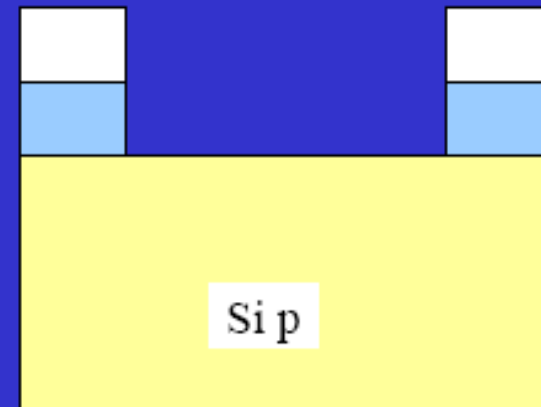
SiO<sub>2</sub>

Si p



SiO<sub>2</sub>

Si p



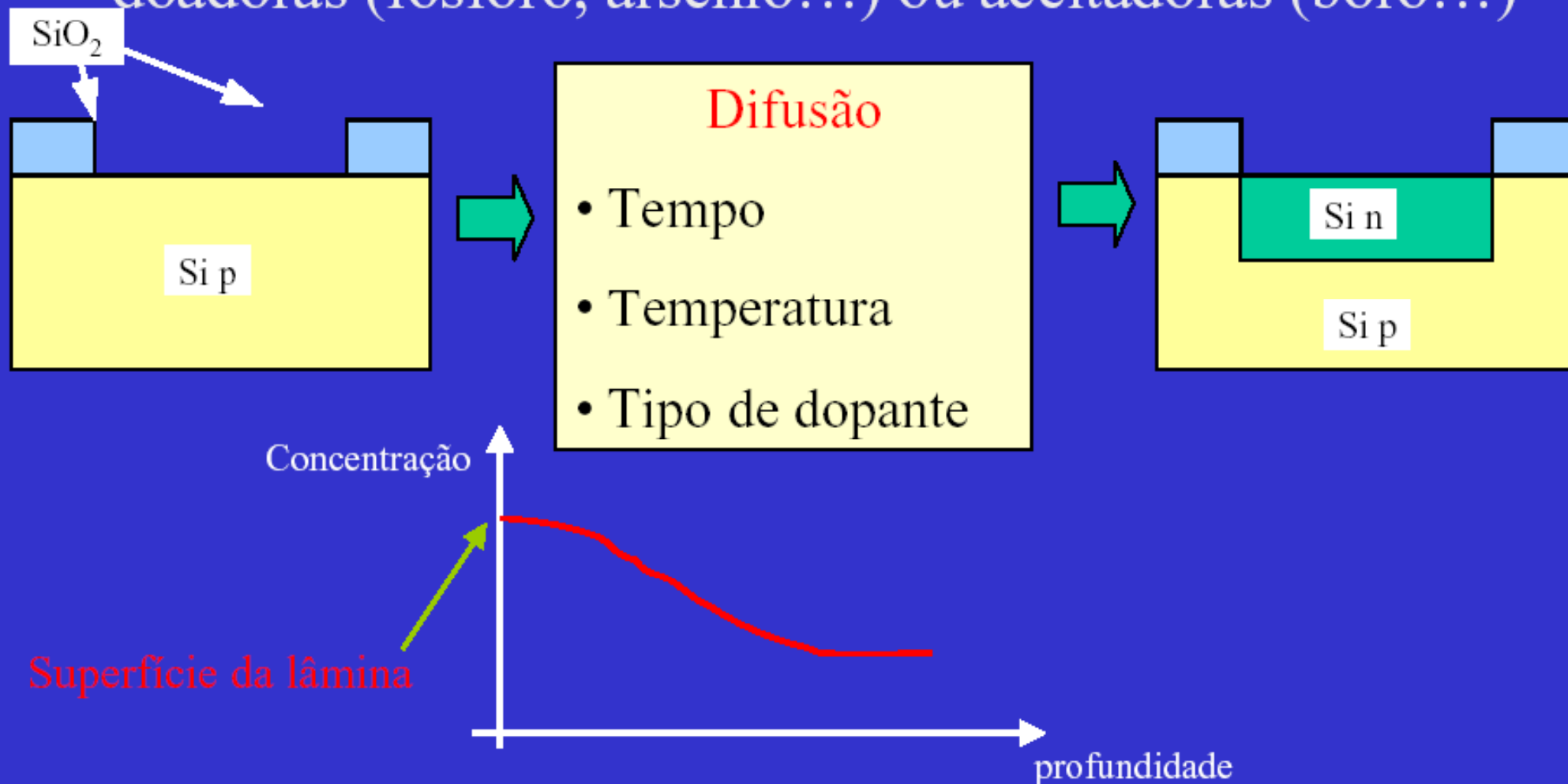
Si p



Si p

## *Difusão de Impurezas:*

Objetivo: introduzir na rede cristalina do Si impurezas doadoras (fósforo, arsênio...) ou aceitadoras (boro...)

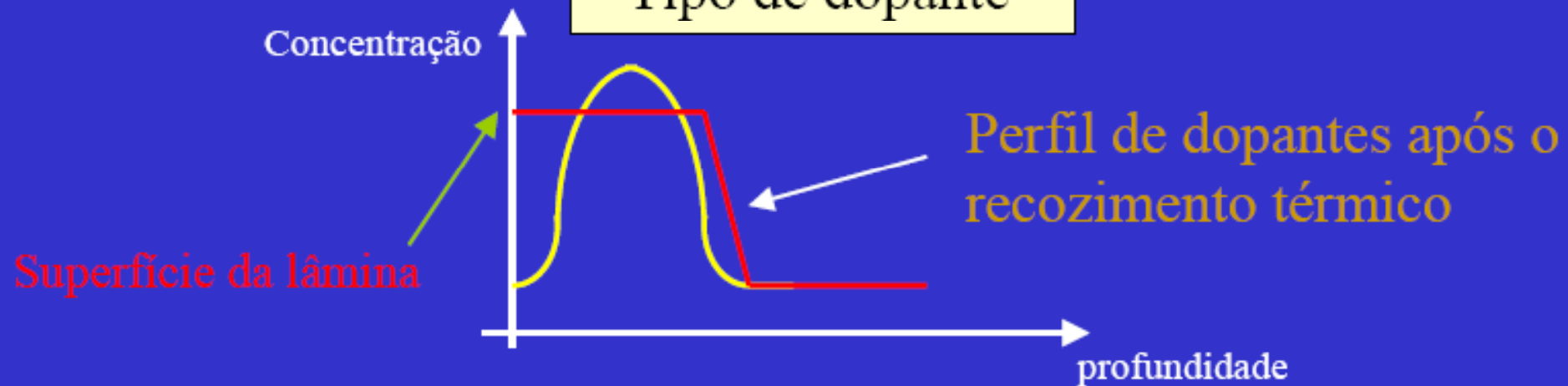
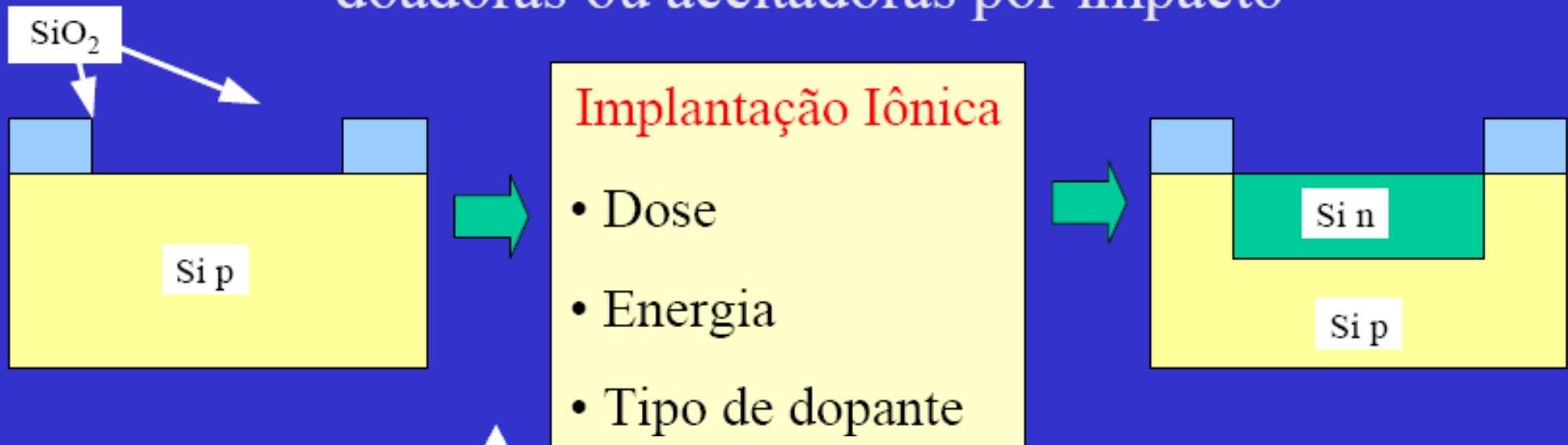


### **Função Principal**

- criação de uma região com características doadora ou aceitadora

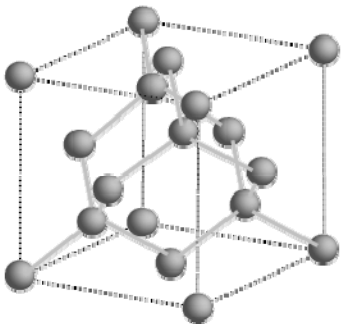
# Implantação Iônica:

**Objetivo:** introduzir na rede cristalina do Si impurezas doadoras ou aceitadoras por impacto

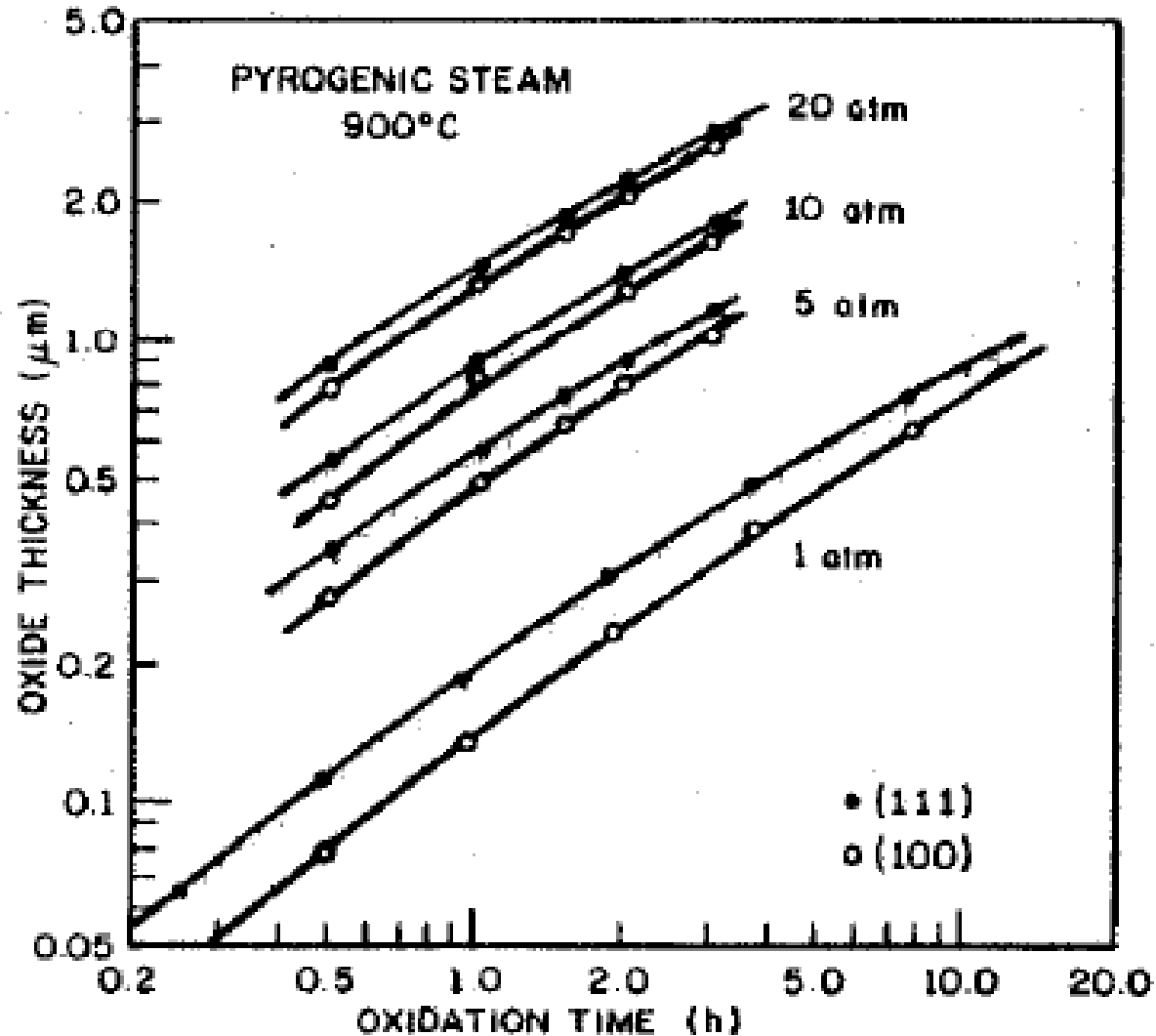
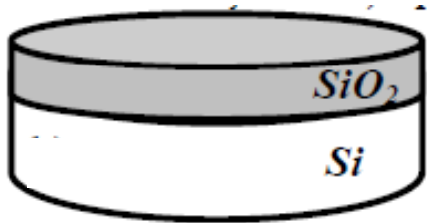


## Função Principal

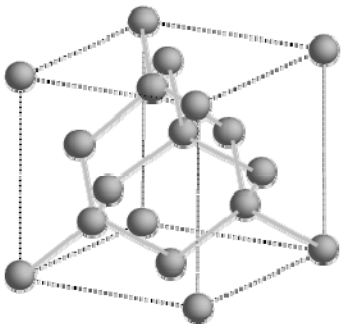
- criação de uma região com características doadora ou aceitadora



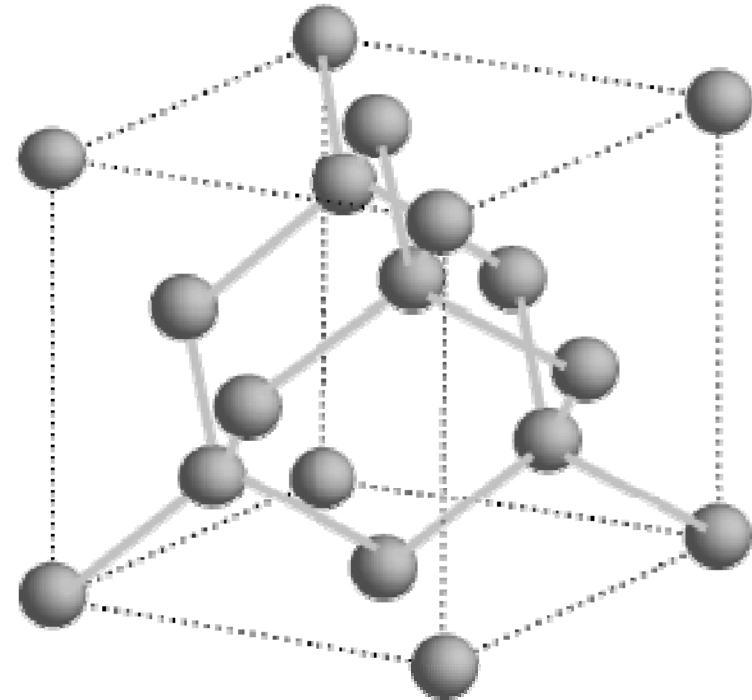
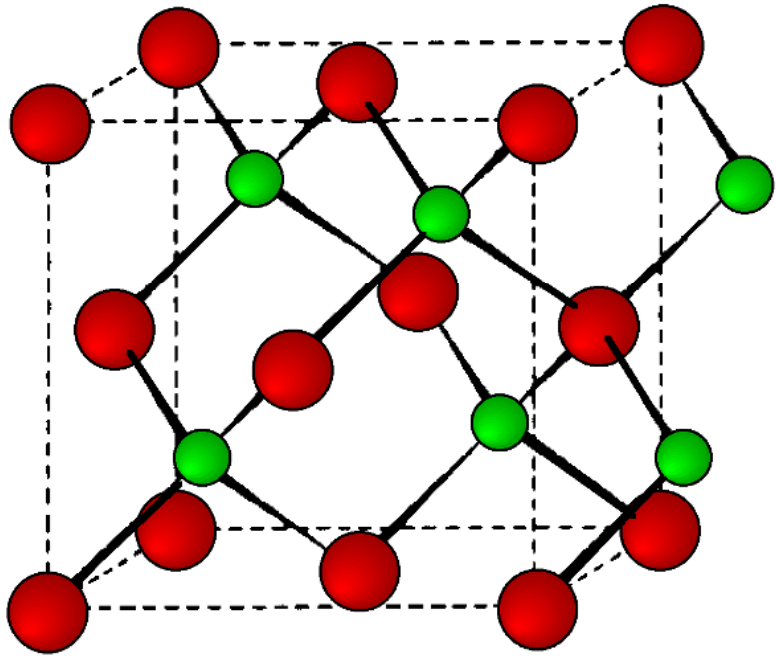
# Efeito da orientação na velocidade de oxidação do silício



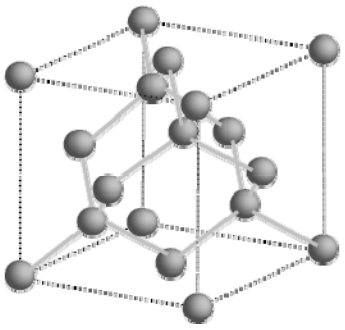
Mas qual é a diferença entre os planos (111) e (100) no silício?



# Estrutura cristalina do silício

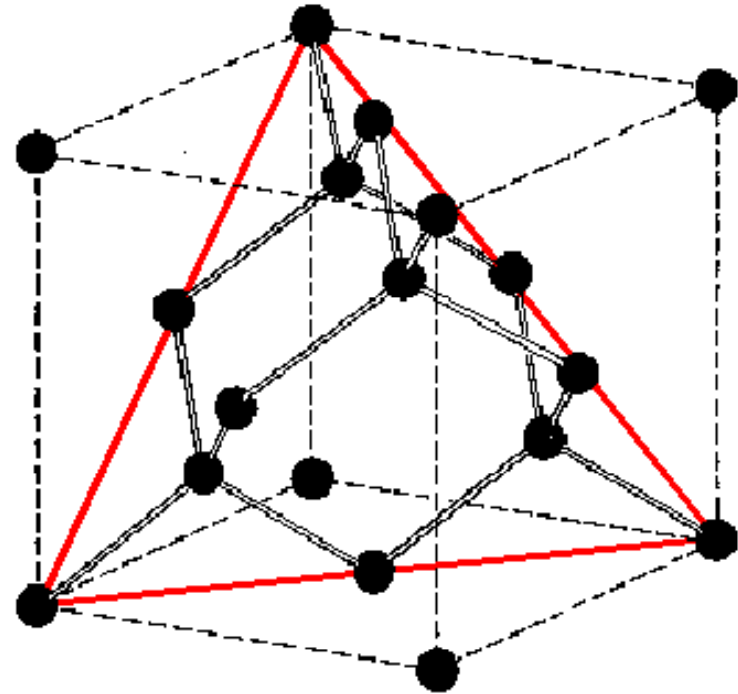


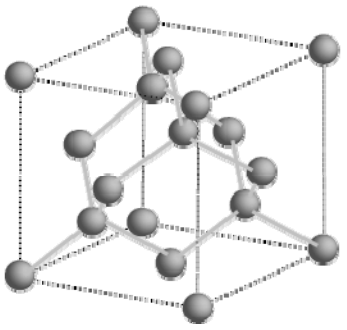
- Estrutura cristalina do silício: Cúbico diamante
- Parece-se com sulfeto de zinco ZnS



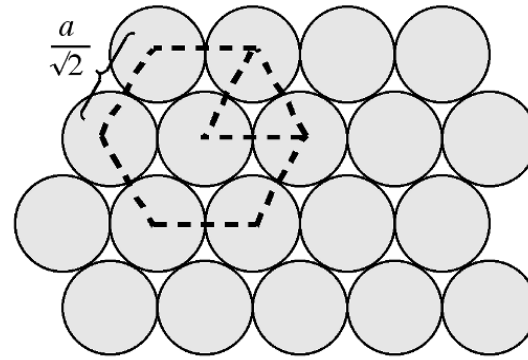
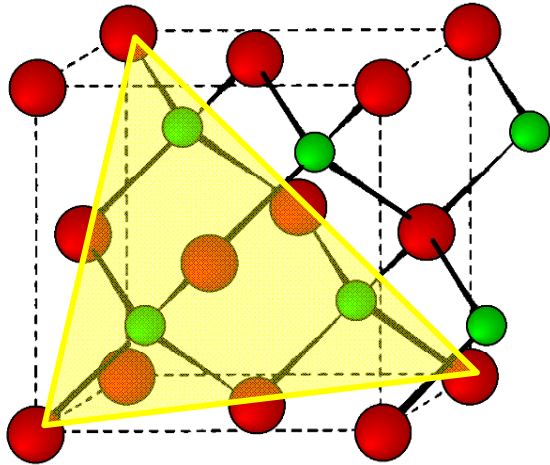
## Plano (111)

- **Empacotamento não ideal:** não há direção de máxima densidade atômica (direção na qual todos os átomos se toquem ou se tangenciem)

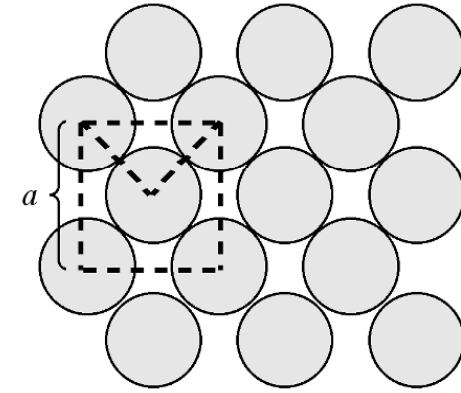




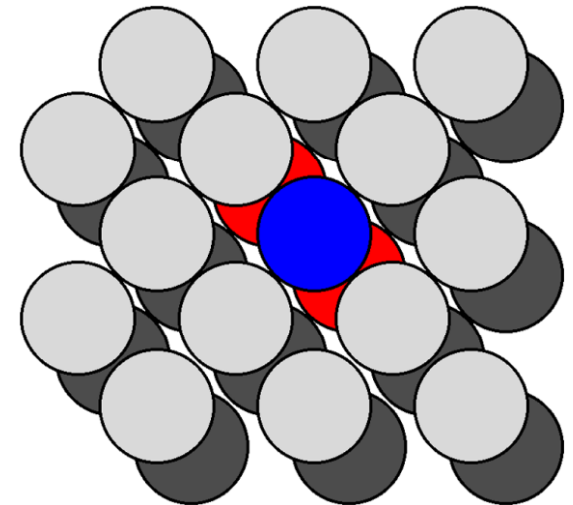
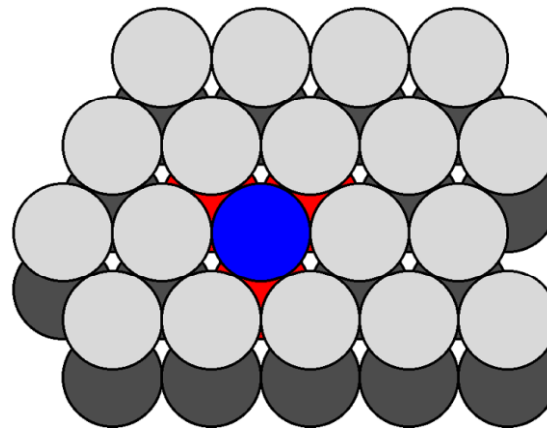
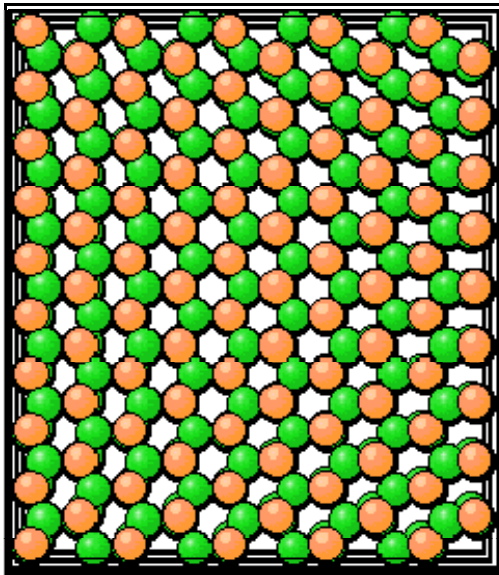
# Não é fácil enxergar o empilhamento no plano (111)

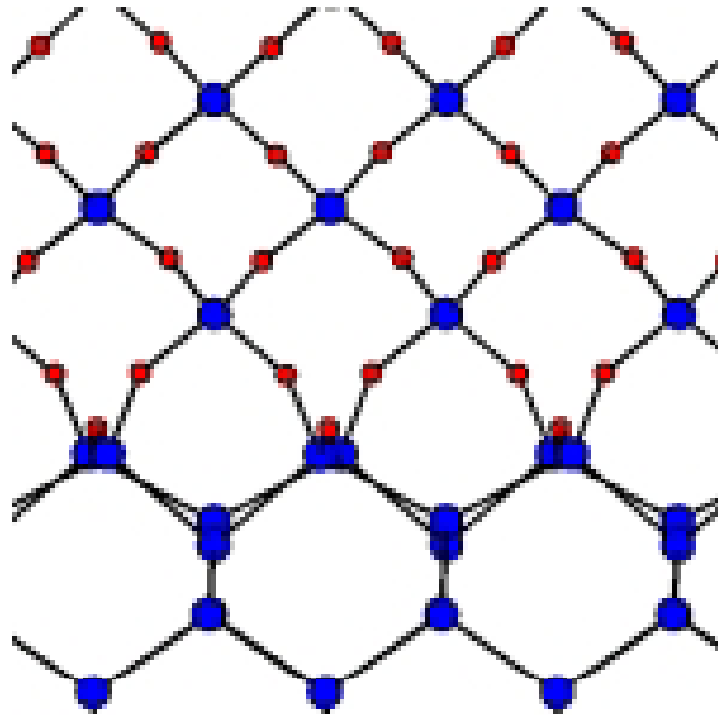
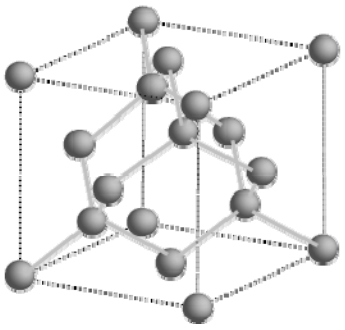


Plano (111)



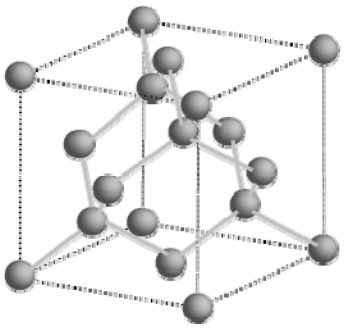
Plano (100)





SiO<sub>2</sub>

silício



# Não deixem de olhar

- Site da Unicamp sobre processos de fabricação de CIs, com animações e texto:  
[http://wtprocess.ccs.unicamp.br/processos/comos\\_v11/index.html](http://wtprocess.ccs.unicamp.br/processos/comos_v11/index.html)
- Site da Universidade Brigham Young sobre processos de fabricação:  
<http://www.ece.byu.edu/cleanroom/KOH.phtml>